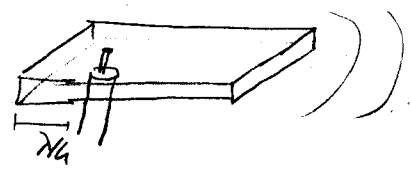


## **Antenne per comunicazioni satellitari**

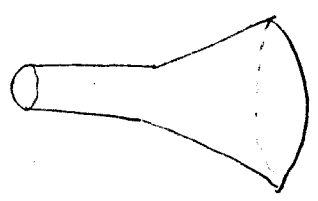
- Antenne ad apertura
  - Feed
- Riflettore parabolico

# ANTENNE AD APERTURA

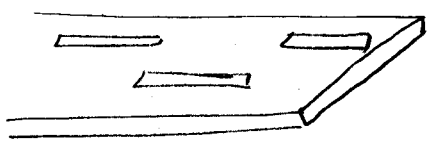
- 1 antenne a guida d'onda troncate
- 2 antenne a trombe (horn)
- 3 antenne a slot



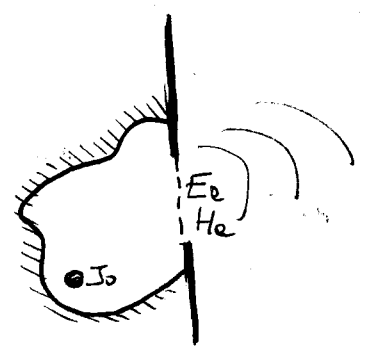
1



2



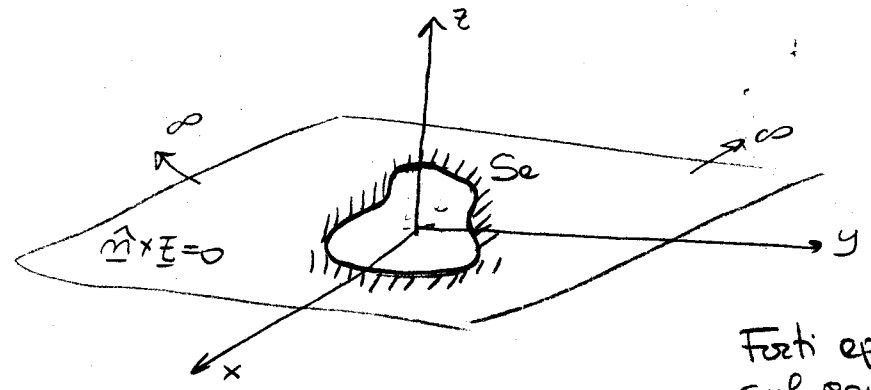
3



modello

In linea di principio ma qualunque di queste strutture può essere risolta in forme numeriche con il metodo dei momenti discretizzando tutto il conduttore con elementi di superficie.

Per avere delle formule di previsione, si può ricorrere a modelli semplificati  $\Rightarrow$  modello di aperture su schermo infinito



radiazione per  $z > 0$

Fatti approssimazioni sul campo ai bordi dell'apertura

## METODO DELLE SORGENTI EQUIVALENTI

1. Si suppone che sull'apertura sia noto il campo elettrico tangente  $\underline{E}_e(x, y) \equiv \underline{E}_e(\rho)$   $\rho = x\hat{x} + y\hat{y}$

es. nel caso di guide  $E_e \perp$  modo TE<sub>10</sub>

• nel caso di slot  $E_e$  ha andamento sinusoidale rispetto al lato lungo e costante rispetto al lato corto  
 • diversamente può essere ottenuto risolvendo numericamente le equazioni interne dell'antenna

2. Si applica il teorema di equivalenza per  $z > 0$  e quindi l'apertura  $S_a$  viene chiusa e al posto di essa si considera una densità di corrente magnetica

$$\underline{J}_m(x, y) = -\hat{n} \times \underline{E}_e = -\hat{z} \times \underline{E}_e(x, y)$$

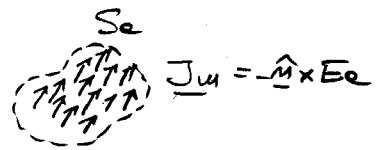


3. Si applica il teorema delle immagini e si rimuove lo schermo metallico raddoppiando la sorgente equivalente

$$\underline{J}_m = -2\hat{z} \times \underline{E}_e(z, 0)$$

che ora inonda nello spazio libero.

(ci interessa solo quello che eccede per  $z > 0$ )



Note : in base al teorema di equivalenza si poteva far riferimento anche ad una superficie magnetica con  $\underline{J}_e = \hat{n} \times \underline{H}_e$  o una superficie elettrica con sorgenti equivalenti sia elettriche che magnetiche. I risultati (campo indotto) sarebbero simili solo nel caso in cui il campo nell'apertura fosse noto in maniera esatta.

Il modello con entrambe le sorgenti è utile per tener conto dell'effetto di bordo

# APERTURA DI FORMA QUALUNQUE

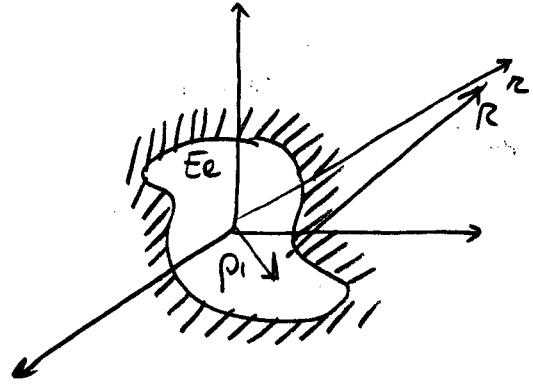
Si considere la sola sorgente magnetica e si applica la teoria dei potenziali:

$$\underline{F}(\underline{r}) = \epsilon_0 \iint_{S_a} \underline{J}_m(\underline{r}') \frac{e^{-jk_0 R}}{4\pi R} d\underline{r}' \quad R = |\underline{r} - \underline{r}'|$$

$$d\underline{r}' = dx' dy'$$

potenziale vettore elettrico

Nelle condizioni di campo lontano si possono applicare le usuali approssimazioni al termine esponenziale



$$\frac{e^{-jk_0 R}}{4\pi R} \approx \frac{e^{-jk_0 r}}{4\pi r} e^{+jk_0 \hat{z} \cdot \underline{r}'}$$

per cui il potenziale elettrico si scrive come

$$\underline{F}(\underline{r}) = -\epsilon_0 \frac{e^{-jk_0 r}}{2\pi r} \iint_{S_a} \underline{E}_e(x', y') e^{jk_0 \hat{z} \cdot \underline{r}'} dx' dy'$$

e parte:

$$\hat{z} \cdot \underline{r}' = \hat{z} \cdot (x' \hat{x} + y' \hat{y}) =$$

$$= x' \sin\theta \cos\phi + y' \sin\theta \sin\phi$$

si pone

$$\tilde{k}_x \triangleq k_0 \sin\theta \cos\phi$$

$$\tilde{k}_y \triangleq k_0 \sin\theta \sin\phi$$

$$f_x(\tilde{k}_x, \tilde{k}_y) \triangleq \iint_{S_e} E_{a,x}(x', y') e^{j(\tilde{k}_x x' + \tilde{k}_y y')} dx' dy'$$

$$f_y(\tilde{k}_x, \tilde{k}_y) \triangleq \iint_{S_e} E_{a,y}(x', y') e^{j(\tilde{k}_x x' + \tilde{k}_y y')} dx' dy'$$

e cioè  $(\star)$   $\underline{f}_t(\tilde{k}_x, \tilde{k}_y) \triangleq f_x \hat{x} + f_y \hat{y} = \iint_{S_e} \underline{E}_a(x', y') e^{j(\tilde{k}_x x' + \tilde{k}_y y')} dx' dy'$

Trasformate di Fourier spaziale del campo tangente all'apertura valutata in  $(\tilde{k}_x, \tilde{k}_y)$

Si vedrà che tutte le proprietà di radiazione delle antenne ed aperture possono essere dedotte dal vettore  $\underline{f}_t$

Trasformate spaziali  
 $(x, y) \rightarrow (\theta, \phi)$   
 del piano ed angoli (direzione di osservazione)

Con queste assegnazioni il potenziale vettore si riscrive nelle forme compatte

$$\underline{F}(\underline{r}) \approx -\epsilon_0 \frac{e^{-jk_0 r}}{2\pi r} \hat{z} \times \underline{f}_t(\tilde{k}_x, \tilde{k}_y)$$

In analogia ai dipoli elementari, si tratta ancora di un'onda sferica non uniforme e cioè sul fronte d'onda sferico l'ampiezza del potenziale è variabile con l'angolo secondo il termine  $f_t(\tilde{k}_x, \tilde{k}_y)$ .

A questo punto si può passare al campo elettrico inedito

$$\underline{E}(\underline{r}) = \frac{1}{\epsilon_0} \nabla \times \underline{F}$$

Nel campo lontano vale la seguente approssimazione del rotore

$$\nabla \times \sim -jk_0 \hat{z} \times$$

$$\underline{E}(\underline{r}) = -j \frac{k_0}{\epsilon} \hat{z} \times \underline{F} = j k_0 \frac{e^{-jk_0 r}}{2\pi r} \hat{z} \times (\hat{z} \times \underline{f}_t)$$

a parte  $\hat{z} \times (\hat{z} \times \underline{f}_t)$ :

$$\hat{z} \times \underline{f}_t = \hat{z} \times (f_x \hat{x} + f_y \hat{y}) = f_x \hat{y} - f_y \hat{x}$$

retrazzerli  
 $\Downarrow$   
 sferiche

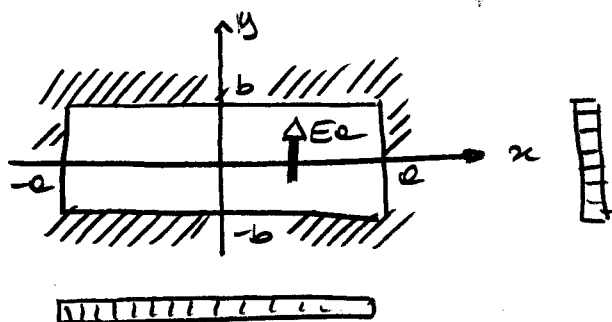
$$\left\{ \begin{array}{l} \hat{x} = \hat{z} \sin \theta \cos \phi + \hat{\theta} \cos \theta \cos \phi - \hat{\phi} \sin \theta \phi \\ \hat{y} = \hat{z} \sin \theta \sin \phi + \hat{\theta} \cos \theta \sin \phi + \hat{\phi} \cos \theta \end{array} \right.$$

$$f_x \hat{y} - f_y \hat{x} = \hat{z} (f_x \sin \phi - f_y \cos \phi) \sin \theta + \hat{\theta} (f_x \sin \phi - f_y \cos \phi) \cos \theta + \hat{\phi} (f_x \cos \phi + f_y \sin \phi)$$

# APERTURA RETTANGOLARE CON ILLUMINAZIONE UNIFORME

È la configurazione più semplice di campo di apertura che però non è per niente facile da realizzare e viene considerata una situazione di riferimento alle quali riferire illuminazioni più realizzabili. Ha il ruolo del dipolo isotropo nella classe delle antenne e ha

$$\begin{cases} \underline{E}_0 = E_0 \underline{\hat{y}} \\ |x| \leq a, |y| \leq b \end{cases}$$



$$\begin{aligned} \Rightarrow f_x &= 0 \\ f_y &= E_0 \int_{-a}^a \int_{-b}^b e^{+jk_x x + jk_y y} dx dy = \\ &= E_0 \frac{2 \sin \tilde{k}_x a - 2 \sin \tilde{k}_y b}{\tilde{k}_x \tilde{k}_y} = \overbrace{4ab}^S E_0 \frac{\sin u}{u} \frac{\sin v}{v} \end{aligned}$$

con  
• variabili  
ausiliarie

$$\begin{cases} u = k_0 a \sin \theta \cos \phi \\ v = k_0 b \sin \theta \sin \phi \end{cases}$$

Il campo outens è quindi dato da combinazione di funzioni sinc che sono trasformate di Fourier di un rettangolo.

$$\underline{E} \sim j \frac{k_0}{2\pi r} e^{-jk_0 r} (\sin \phi \hat{\theta} + \cos \phi \cos \theta \hat{\phi}) f_y$$

Sono quindi presenti ambedue le componenti  $E_\theta$  e  $E_\phi$

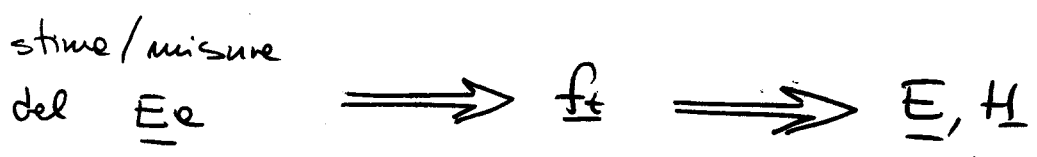
quindi  $\hat{z} \times (f_x \hat{y} - f_y \hat{x}) = -\hat{\theta} (f_x \cos \phi + f_y \sin \phi) -$   
 $-\hat{\phi} (f_y \cos \phi - f_x \sin \phi) \cos \theta$

Infine il campo elettrico avrà quindi componenti:

$$\left\{ \begin{array}{l} E_{\theta} \sim j k_0 \frac{e^{-j k_0 r}}{2 \pi r} (f_x \cos \phi + f_y \sin \phi) \\ E_{\phi} \sim j k_0 \frac{e^{-j k_0 r}}{2 \pi r} (f_y \cos \phi - f_x \sin \phi) \cos \theta \\ E_r \sim 0 \\ \underline{H} = \frac{1}{\eta_0} \hat{z} \times \underline{E} \end{array} \right.$$

c'è un 'e' invece di 'z' in quanto si tiene conto delle sorgenti immaginarie.

Procedure



Tutto si riduce quindi al calcolo delle trasformate bidimensionali del campo di aperture.

Note

Le configurazioni di campo uniforme sono direttamente compatibili con la struttura in quanto non viene rispettata la condizione di contorno  $\hat{n} \times \underline{E} = 0$  sul contorno conduttore  $x = \pm a$

Fine Note

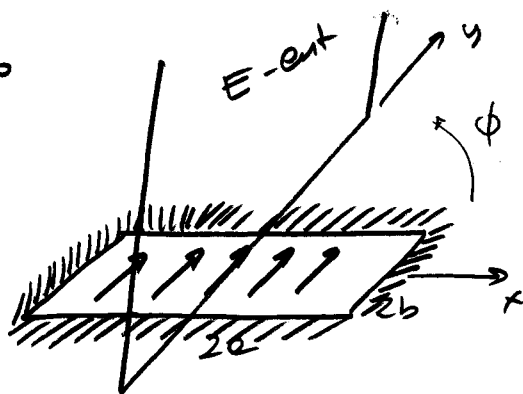
Vediamo ora il campo dell'apertura su due tagli principali:

$$\boxed{\phi = \frac{\pi}{2} \quad E\text{-cut}}$$

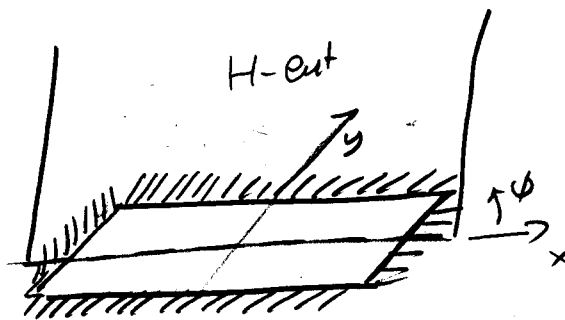
è il piano  $(y, z)$

passa per il campo elettrico d'apertura

$$\begin{cases} \underline{E} = E_0 \hat{\phi} = j \frac{k_0}{2\pi r} e^{-jk_0 r} \frac{\sin \nu r}{\nu} \hat{\phi} \\ \nu = k_0 b \sin \vartheta \\ u = 0 \end{cases}$$



$$\boxed{\phi = 0^\circ \quad H\text{-cut}}$$



$$\begin{cases} \underline{E} = E_\phi \hat{\phi} = j \frac{k_0}{2\pi r} e^{-jk_0 r} \frac{\sin \nu r}{\nu} \cos \vartheta \hat{\phi} \\ u = k_0 a \sin \vartheta \\ \nu = 0 \end{cases}$$

Ambedue i tagli del campo dipendono dalle funzioni sinc ma nel caso dell'H-cut esse è filtrata dal termine  $\cos \vartheta$

E-cut

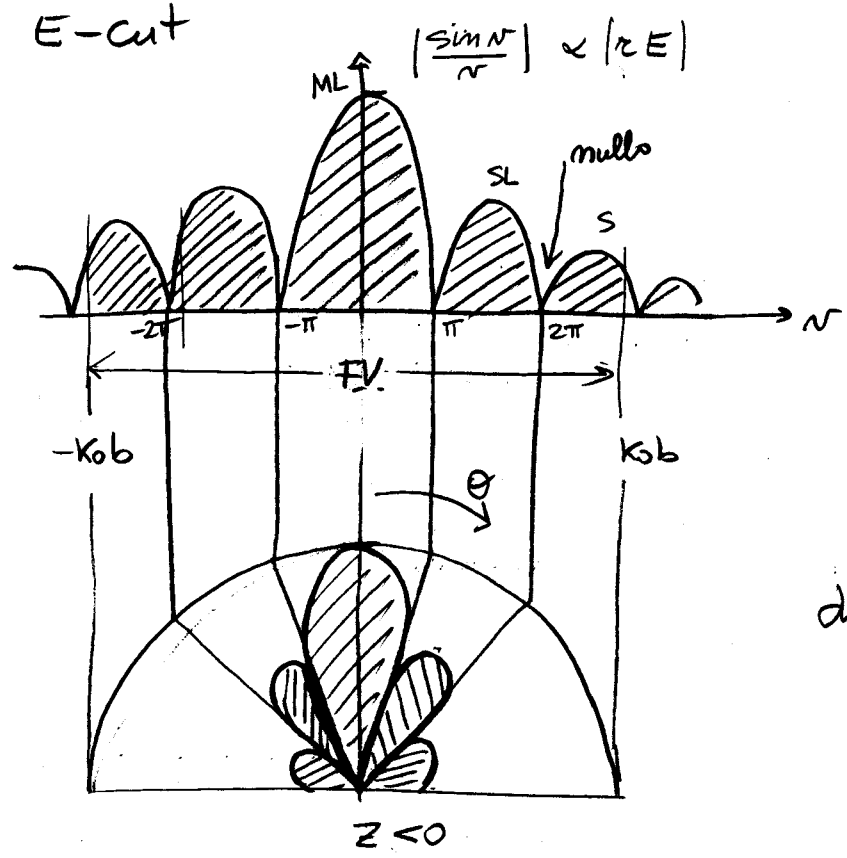


diagramma cartesiano  
rispetto alle variabile  
ausiliarie N.

C'è un Main Lobe e  
fatti Side Lobes di  
ampiezza decrescente

diagramma polare

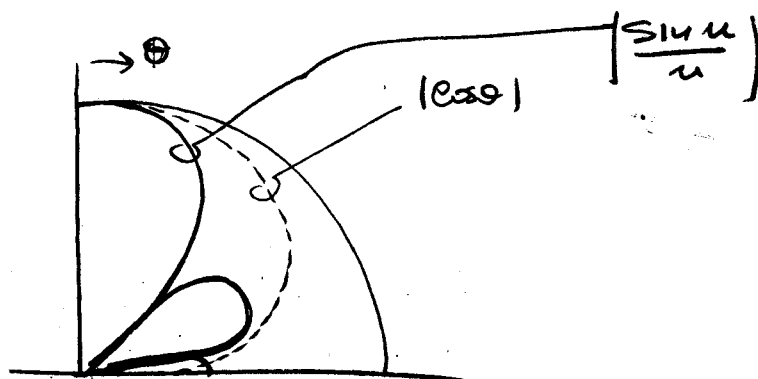
Solo una porzione del grafico cartesiano darà origine al  
diagramma di radiazione fisico. Infatti è

$$u = k_0 a \sin \theta \quad \text{ma } |\sin \theta| \leq 1 \Rightarrow \left. \begin{aligned} |u| &\leq k_0 a \\ |v| &\leq k_0 b \end{aligned} \right\} \text{F.V.}$$

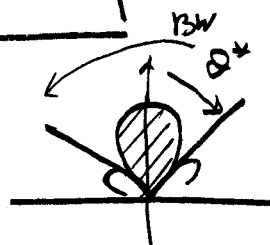
Viene quindi definita una FINESTRA DI VISIBILITA'  
che produce il vero diagramma di radiazione polare

Una simile cosa vale anche per il piano H dove  
però compare anche il termine  $\cos \theta$ . Esso comunque  
risulta lentamente variabile rispetto a  $\sin u/u$  e quindi  
ha come effetto solo quello di attenuare i lobi secondari  
e non introduce, in genere, altri nulli.

esempio



Larghezza di fascio tra i primi nulli  
(FIRST NULL BEAMWIDTH)



$$BW = 2\theta^*$$

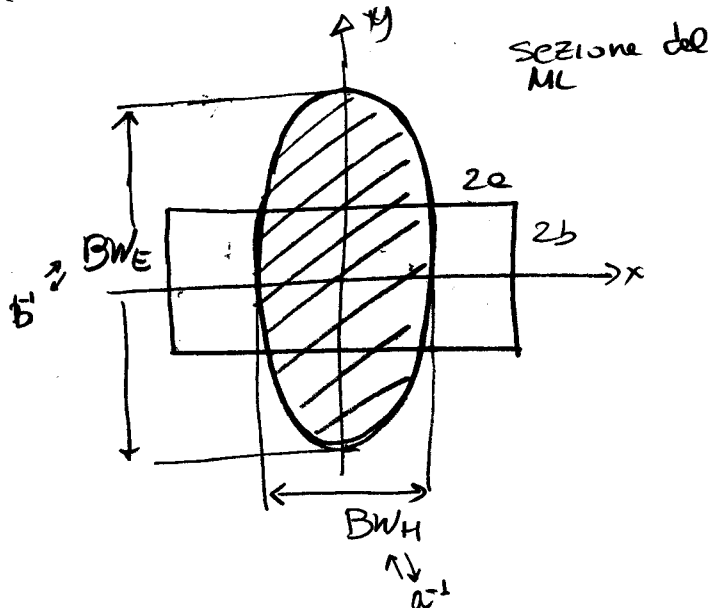
$$\theta^* \Leftarrow \begin{bmatrix} u^* \\ u^* \end{bmatrix} = \pi$$

$$\sin \theta^* = \begin{bmatrix} \frac{\pi}{k_0 b} \\ \frac{\pi}{k_0 a} \end{bmatrix}$$

Nel caso di grandi aperture (corno stretto) si può approssimare  
 $\sin \theta^* \approx \theta^*$

$$\Rightarrow \begin{bmatrix} \theta_E^* \\ \theta_H^* \end{bmatrix} \approx \begin{bmatrix} \frac{\lambda}{2b} \\ \frac{\lambda}{2a} \end{bmatrix} \Rightarrow$$

$$\begin{aligned} BW_E &= \frac{\lambda}{b} \\ BW_H &= \frac{\lambda}{a} \end{aligned}$$



Il Beamwidth è quindi inversamente proporzionale alla lunghezza del lato dell'apertura.

Le forme del lobo più avvicinate sono controllate indipendente mente sui due tagli delle dimensioni dei due lati.

### Livello dei lobi secondari

Si può far vedere che il più alto lobo secondario ha un'ampiezza che è

al di sotto del lobo principale.  $-13,25\text{ dB}$



### Calcolo della Direttività

$$D = 4\pi \frac{I(0,0)}{P_r}$$

$$P_r = \iint_{S_a} \frac{1}{2} \underline{E} \times \underline{H}^* \cdot \underline{\hat{z}} \, dx' dy'$$

↳ lo calcolerò come flusso del vettore di Poynting attraverso l'apertura

Trascurando gli effetti di bordo si ipotizza la realtà di onde piatte sull' apertura

$$\underline{E}_a, \quad \underline{H}_a = \frac{1}{\eta_0} \underline{\hat{z}} \times \underline{E}_a$$

$$\Rightarrow P_r = \frac{1}{2} \frac{1}{\eta_0} \iint_{S_a} |E_0|^2 \, dx' dy' = \frac{1}{2} \frac{|E_0|^2}{\eta_0} \overbrace{ab}^{S_a} = \frac{1}{2} \frac{|E_0|^2}{\eta_0} S_a$$

vettore di Poynting in zona lontana

$$I(\theta, \phi) = \frac{r^2 |E|^2}{2\eta_0} = \frac{1}{2\eta_0} \frac{E_0^2}{4\pi^2} k_0^2 \left[ \cos^2\theta (f_x \sin\phi - f_y \cos\phi)^2 + (f_x \cos\phi + f_y \sin\phi)^2 \right]$$

Il massimo di intensità si ha per  $\theta=0^\circ$  (antenna broadside)

$$\Rightarrow I_{\max} = \frac{1}{2\eta_0} \frac{k_0^2}{4\pi^2} \left[ (f_x \sin\phi - f_y \cos\phi)^2 + (f_x \cos\phi + f_y \sin\phi)^2 \right] E_0^2$$

per l'illuminazione uniforme è  $f_x = 0$

$$\Rightarrow I_{\max} = \frac{1}{2\eta_0} \frac{k_0^2}{4\pi^2} f_y^2 \underbrace{(\cos^2\phi + \sin^2\phi)}_1 E_0^2 = \frac{k_0^2}{8\eta_0 \pi^2} E_0^2 f_y^2 \Big|_{\theta=0}$$

$$\text{ove } f_y = 4ob \underbrace{\frac{mu}{u}}_1 \underbrace{\frac{nu}{v}}_1$$

$$u = k_0 a \sin\theta \cos\phi$$

$$v = k_0 b \sin\theta \sin\phi$$

$$f_y(\theta=0) = 4ob = S$$

$$\Rightarrow I_{\max} = \frac{k_0^2}{8\eta_0 \pi^2} E_0^2 S^2$$

Da cui

$$D_0 = \frac{4\pi \frac{k_0^2}{8\eta_0 \pi^2} E_0^2 S^2}{\frac{1}{2} \frac{E_0^2}{\eta_0} S} = \frac{k_0^2 S}{\pi} = \frac{4\pi^2}{\lambda^2 \pi} S = 4\pi \frac{S}{\lambda^2}$$

$$D_0 = 4\pi \frac{S}{\lambda^2}$$

è indipendente della forma dell'apertura (a patto che sia sufficientemente larga) ma dipende dalle sue "Area elettrica"

NB // È la massima direttività ottenibile da un'area radiante  $S$  in quanto tutto il campo incide in fase.

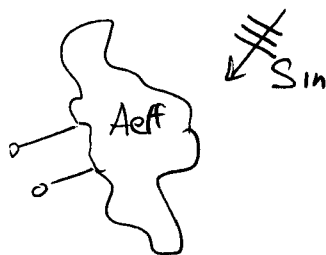
Dall'espressione della direttività massima di un'apertura con illuminazione uniforme si può definire l'area efficace massima per una qualunque antenna di direttività  $D_0$

$$A_{\text{eff}} \hat{=} \lambda^2 \frac{D_0}{4\pi}$$

È una caratteristica normalmente usata in ricezione.

$$P_r = A_{\text{eff}} \cdot S_{\text{in}}$$

permette di calcolare la potenza massima raccolta ai morsetti quando l'antenna è investita da un'onda piana con vettore di pointing  $S_{\text{in}}$ .



$A_{\text{eff}}$  può quindi essere considerata come l'area di una apertura rettangolare uniforme che raccoglie la stessa potenza dell'antenna in esame.

Normalmente  $A_{\text{eff}} \leq \text{area fisica}$ . L'uguaglianza vale per l'apertura uniforme.

|| Più in generale l'area efficace è funzione dell'angolo

$$A_{\text{eff}}(\theta, \phi) = \lambda^2 \frac{D(\theta, \phi)}{4\pi}$$

è legata alla guadagno efficace di un'antenna.

→ trovare la relazione esprimendo la potenza incidente o la direttività in funzione di  $|\theta|$

## EFFICIENZA D'APERTURA

Si era introdotta l'area efficace  $A_e$  di un'antenna di

$$A_e \triangleq \frac{\lambda^2}{4\pi} D_0$$

direttività massima  $D_0$

Per un'apertura, il legame tra area geom. e area efficace è espresso da

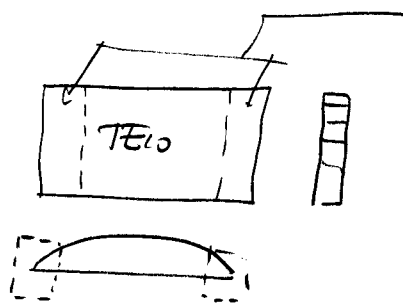
$$\epsilon_{ap} = \frac{A_e}{A}$$

Nel caso di aperture con illuminazione uniforme è  $\epsilon_{ap} = 1$

Giudica quanto bene è usata l'apertura

valori tipici: 30 - 90%

ex



in queste regioni il campo è basso e quindi contribuisce poco alla radiazione.

È come se l'apertura "attiva" fosse più piccola di quella geometrica.

- Quindi un Array può essere pensato come una realizzazione approssimata di un'antenna ad aperture.

21/04/93

Per calcolare la direttività si può direttamente usare la formula

$$D = 4\pi \frac{S'}{\lambda^2}$$

- Anche per questo tipo di strutture c'è una zona di visibilità infatti:

$$u = a k_0 \sin \theta$$

$$\sin \theta = \frac{u}{a k_0}$$

$$\Rightarrow \left| \frac{u}{a k_0} \right| < 1 \quad \Rightarrow -k_0 a < u < k_0 a$$

$$-\frac{a}{\lambda} \leq u \leq \frac{a}{\lambda}$$

- per aumentare o agire e diminuire la zona di visibilità si può agire su  $\frac{a}{\lambda}$ .

Adesso, ancora per una apertura rettangolare, con illuminazione a fase variabile linearmente con le coordinate:

$$\underline{20} \quad (*) \quad \underline{\underline{E_e = E_0 e^{-j\alpha x} e^{-j\beta y}}}$$

Come vedremo con questo accorgimento riusciamo a spostare il fascio:

- introducendo la (\*) nelle formule di  $F_n$  otteniamo:



$$f_x = E_0 \int_a^b \int_{-b}^b e^{-j\alpha x} e^{-j\beta y} e^{jk_0 \sin\theta \cos\phi x} e^{jk_0 \sin\theta \sin\phi y} dx dy =$$

$$= 2E_0 \frac{\sin(k_0 \sin\theta \cos\phi - \alpha) a}{(k_0 \sin\theta \cos\phi - \alpha) a} \cdot \frac{\sin(k_0 \sin\theta \sin\phi - \beta) b}{(k_0 \sin\theta \sin\phi - \beta) b} =$$

$$f_x = \underbrace{4ab}_A E_0 \frac{\sin(\mu - \mu_0)}{\mu - \mu_0} \cdot \frac{\sin(\nu - \nu_0)}{\nu - \nu_0}$$

con

$$\begin{aligned} \mu &= k_0 \sin\theta \cos\phi; & \mu_0 &= \alpha a \\ \nu &= k_0 \sin\theta \sin\phi; & \nu_0 &= \beta b \end{aligned}$$

Facciamo i conti ottenendo delle espressioni per  $E_\theta$  e  $E_\phi$  analoghe a questo tratto prima. Basta sostituire e

$$\begin{aligned} \mu &\leftarrow \mu - \mu_0 \\ \nu &\leftarrow \nu - \nu_0 \end{aligned}$$

Cio comporta uno slittamento del diagramma di radiazione di  $\mu_0$  e  $\nu_0$



Il massimo sta in  $\mu_0$  e  $\nu_0$

$$\begin{cases} \mu = \mu_0 \\ \nu = \nu_0 \end{cases} \Rightarrow \begin{cases} k_0 \sin\theta \cos\phi = \alpha \\ k_0 \sin\theta \sin\phi = \beta \end{cases} \quad \begin{aligned} \tan\phi &= \frac{\beta}{\alpha} \\ k_0^2 \sin^2\theta &= \alpha^2 + \beta^2 \end{aligned}$$

$$\phi = \arctan \frac{\beta}{\alpha}$$

$$\theta = \arcsin \sqrt{\frac{\alpha^2 + \beta^2}{k_0^2}}$$

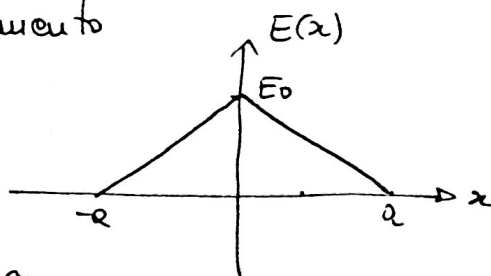
Angolo di puntamento del main-lobe.

Consideriamo adesso una illuminazione non più uniforme

$$E = E(x) \hat{z} \quad (\text{TAPERED})$$

dove  $E(x)$  ha un andamento

$$E(x) = E_0 \left(1 - \frac{|x|}{a}\right)$$



Calcolo

$$f_x = E_0 \int_{-a}^a \int_{-b}^b \left(1 - \frac{|x|}{a}\right) e^{j\tilde{k}_y x} e^{j\tilde{k}_y y} dx dy =$$

$$= 2E_0 b \frac{\sin \tilde{k}_y b}{\tilde{k}_y b} \int_{-a}^a \left(1 - \frac{|x|}{a}\right) e^{j\tilde{k}_x x} dx$$

è una funzione  
pari

è una funzione pari (cos)  
e una dispari (sin)

il contributo di  $\left(1 - \frac{|x|}{a}\right) \sin \tilde{k}_x x$  è nullo  
(funzione dispari in un periodo).

resta allora da calcolare:  $2 \int_0^a \left(1 - \frac{x}{a}\right) \cos \tilde{k}_x x dx = \dots$

A conti fatti si ha:

$$f_x = 2ab E_0 \frac{\sin v}{v} \frac{\sin^2 u/2}{(u/2)^2}$$

dove

$$u = \tilde{k}_x a$$

$$v = \tilde{k}_y b$$

Rispetto all'illuminazione uniforme abbiamo il termine  
cioè esprime che il main-l.

$\frac{\sin^2 u/2}{(u/2)^2}$  invece di  $\frac{\sin u}{u}$

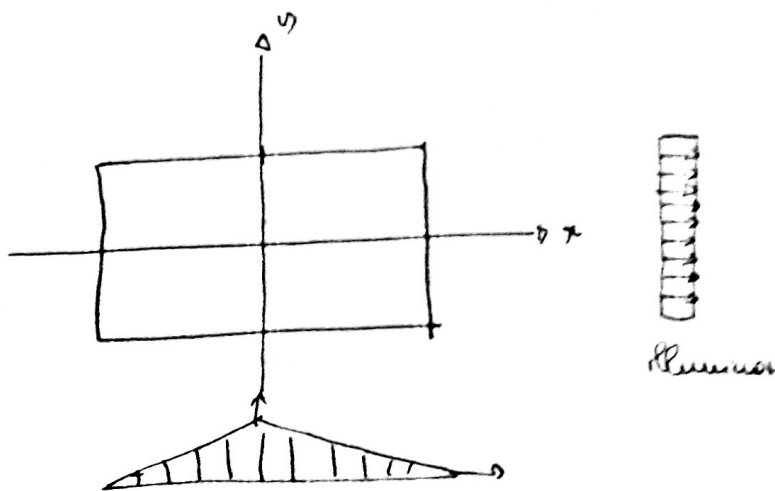
sto ampio il doppio : infatti bisogna porre

$$\sin^2 \mu/2 = 0$$

$$\Rightarrow \frac{\mu^*}{2} = \pi \quad \mu^* = k_0 a \sin \theta^* = 2\pi$$

$$BW = 2\theta^* = 2 \frac{\lambda}{a}$$

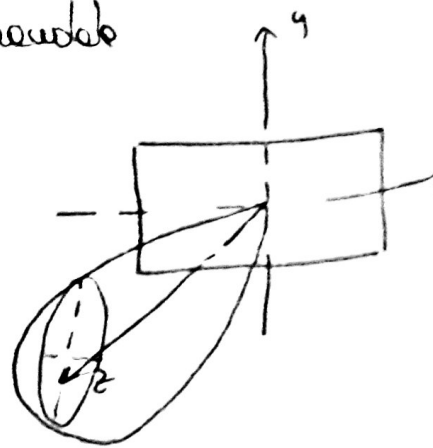
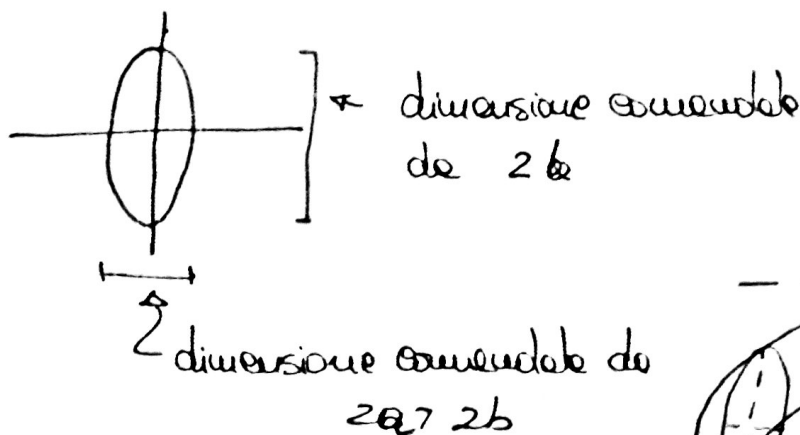
L'illuminazione viene venuta solo sul piano orizzontale e quindi solo su questa direzione si ha un raddoppio della lunghezza del ML.



Nel caso di illuminazione tapered, abbiamo una situazione analoga a quella dell'array binario. Anche in questo caso si ha una drastica riduzione dei SL.

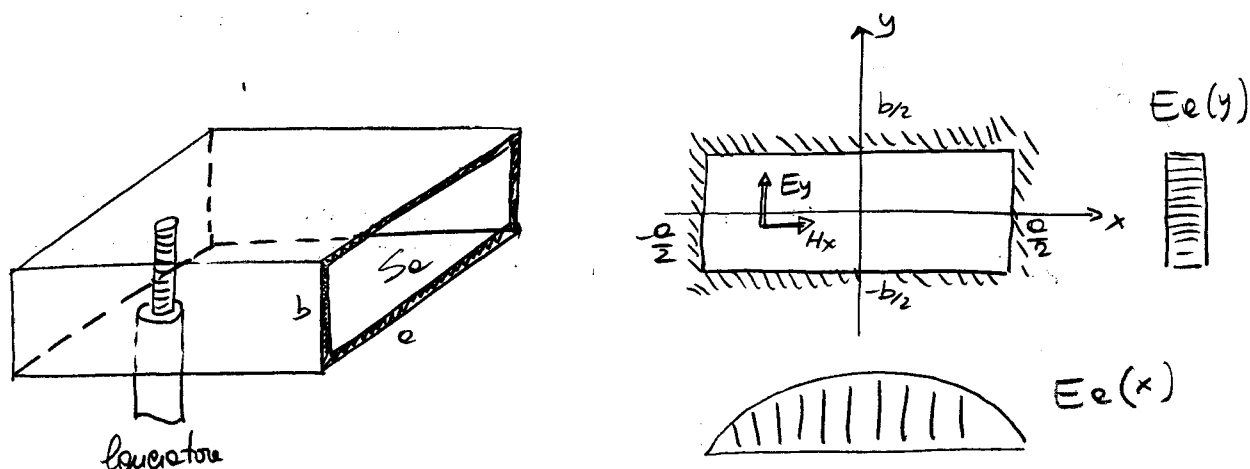
La forma del main lobe è la seguente

H-ant



# IRRADIAZIONE DA GUIDA D'ONDA TRONCA (Open-ended waveguide)

## a) Guida Rettangolare



### Ipotesi:

1. Si suppone che nell'apertura ci sia il solo modo fondamentale  $TE_{10}$
2. Si trascurano quindi i modi di ordine superiore
3. Si trascurano l'effetto di bordo dell'apertura

$$\left\{ \begin{array}{l} \underline{E}_e(x, y) = E_0 \cos \frac{\pi}{2} x \hat{y} \\ \underline{H}_e(x, y) = -\frac{E_0}{Z_{10}} \cos \frac{\pi}{2} x \hat{x} \end{array} \right. \quad \triangleleft \text{modo } TE_{10}$$

$$\text{con } \beta_{10} = \sqrt{k_0^2 - \left(\frac{\pi}{2}\right)^2}$$

imp. caratteristico  
modo  $TE_{10}$

vale

$$Z_{10} \beta_{10} = \eta_0 k_0 \Rightarrow Z_{10} = \frac{k_0}{\beta_{10}} \eta_0$$

Si calcola lo spettro d'onde piano

$$f_y = E_0 \cdot b \frac{\sin \nu}{\nu} \int_{-\frac{a}{2}}^{\frac{a}{2}} \cos \frac{\pi x}{a} e^{j k_x x} dx$$

↑  
 l'integrazione rispetto ad  $y$  fornisce gli stessi risultati nel caso di illuminazione uniforme

Saltando i calcoli si ottiene

$$\begin{cases} f_y = 2\pi a b E_0 \frac{\sin \nu}{\nu} \frac{\cos u}{\pi^2 - 4u^2} \\ f_x = 0 \end{cases}$$

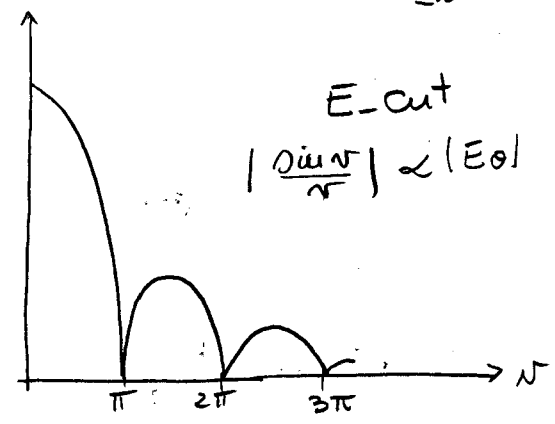
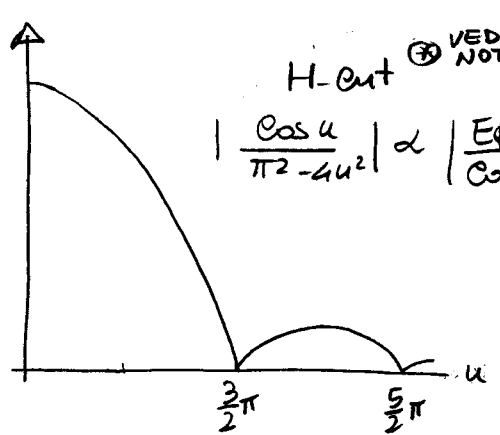
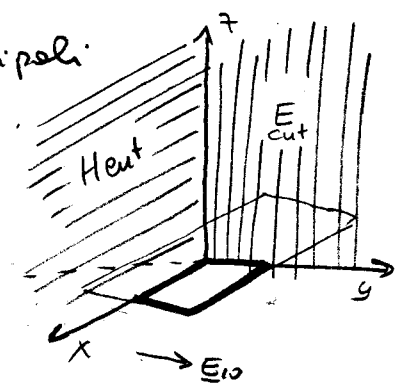
$$u = k_x \frac{a}{2} = k_0 \cos \phi \sin \theta \frac{a}{2}$$

$$\nu = k_y \frac{b}{2} = k_0 \sin \phi \sin \theta \frac{b}{2}$$

Si osservano gli andamenti sui piani principali:

**H-cut** (piano  $xz$ )  $\phi = 0$   $\nu = 0$   $E_\phi = 0$

$$f_y = 2\pi a b \frac{\cos u}{\pi^2 - 4u^2}$$



**E-cut** piano  $(y,z)$   $\phi = \frac{\pi}{2}$   $u = 0$   $E_\phi = 0$

$$f_y = 2\pi a b \frac{\sin \nu}{\nu} \text{ come nel caso uniforme}$$

NOTA



Il campo  $E_\phi$  è dato da, per  $\phi=0$

$$E_\phi(r, \theta, \phi) \sim \frac{j k_0}{2\pi r} e^{-j k_0 r} f_y \cos \theta$$

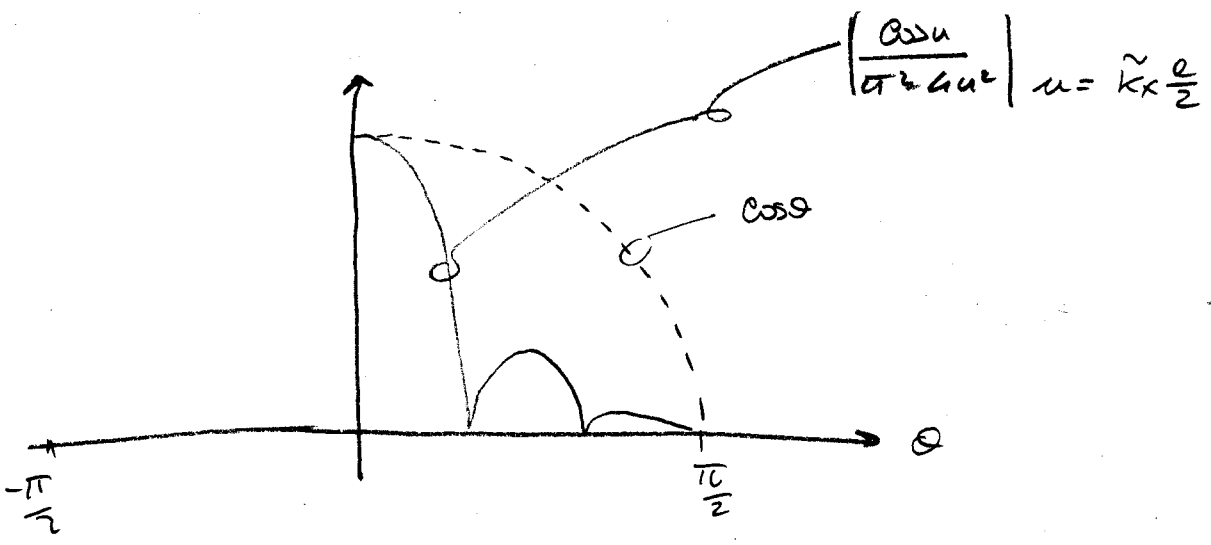
per tanto il pattern di radiazione è in realtà proporzionale

e

$$|\cos \theta| \left| \frac{\cos u}{\pi^2 - 4u^2} \right|$$

ma  $\cos \theta > 0$  per  $-\frac{\pi}{2} < \theta < \frac{\pi}{2}$  e quindi il suo effetto è solo quello di attenuare la funzione (e quindi i lobi)

$$\left| \frac{\cos u}{\pi^2 - 4u^2} \right|$$



Per effetto del tapering dell'illuminazione di apertura in direzione  $x$ , (e in senso) il diagramma di radiazione sul taglio  $H$  (parallelo alla direzione  $x$ ) avrà lobi secondari più bassi rispetto al taglio  $E$  (che dipende principalmente dall'andamento dell'illuminazione d'apertura lungo  $y$ ).  $\Leftrightarrow$  ARRAY BINOMIALE

Il diagramma di radiazione sarà quindi molto asimmetrico rispetto l'asse dell'apertura, anche nel caso in cui queste fosse quadrate.

Rispetto ad una illuminazione uniforme il ML sul piano  $H$  si è allargato. Dipendentemente dalle dimensioni della guida, i lobi secondari sul piano  $H$  possono anche essere completamente assenti. Infatti si considera la finestra di visibilità sul piano  $H$

$$|\mu| < \frac{k_0 a}{2} = \frac{\pi a}{\lambda}$$

normalmente nelle guide è  $\frac{\lambda}{2} < a < \lambda$

per cui  $\frac{\pi a}{\lambda} < \pi$

in altri termini la finestra di visibilità termina prima del punto zero in  $\alpha$  ( $\frac{3}{2}\pi$ )

ex guida d'onda in banda  $X$  (8-12 GHz)  $\lambda_0 \approx 3$  cm  
dimensioni tipiche sono

$$\begin{aligned} a &= 0.9'' = 2.29 \text{ cm} \\ b &= 0.4'' = 1.02 \text{ cm} \end{aligned} \Rightarrow \frac{\pi a}{\lambda} = \pi \frac{2.29}{3} < \pi$$

## Calcolo della Direttività

1) Potenza irradiata

$$P_r = \iint_{S_e} \frac{1}{2} \underline{E}_e \times \underline{H}_e^* \cdot \hat{z} \, dx \, dy = \frac{\rho}{2} \%$$

avendo supposto che  
sull'apertura c'è il  
modo TE<sub>10</sub> si ha

$$\begin{aligned} \frac{\rho}{2} \% &= \frac{1}{2Z_{10}} \int_{-\frac{a}{2}}^{\frac{a}{2}} \int_{-\frac{b}{2}}^{\frac{b}{2}} |E_y(x)|^2 \, dx \, dy = \\ &= \frac{b}{2Z_{10}} E_0^2 \int_{-\frac{a}{2}}^{\frac{a}{2}} \cos^2 \frac{\pi}{a} x \, dx = \frac{b}{2Z_{10}} E_0^2 \frac{a}{2} = \frac{\rho b}{4Z_{10}} E_0^2 \end{aligned}$$

Questa approssimazione di campo di aperture non è l'unica  
utilizzata. Balanis per esempio considera valide l'approssimazione  
d'onde piane  $H_x = -\frac{1}{\eta_0} E_y$  per cui si trova

$$P_r = \frac{\rho b}{4\eta_0} E_0^2 \quad \Rightarrow \text{risultati meno accurati}$$

2) Intensità di radiazione massima

$$I = r^2 \frac{|E|^2}{2\eta_0} \quad \text{siamo nello spazio libero}$$

$$\underline{E}: \begin{cases} E_\theta \sim j k_0 \frac{e^{-jkr}}{2\pi r} \sin\phi f_y \\ E_\phi \sim j k_0 \frac{e^{-jkr}}{2\pi r} \cos\phi \cos\theta f_y \end{cases}$$

$$\text{quindi} \quad I = \frac{r^2}{2\eta_0} (|E_\theta|^2 + |E_\phi|^2) = \frac{k_0^2}{8\eta_0 \pi^2} (\sin^2\phi + \cos^2\phi \cos^2\theta) |f_y|^2$$

La massima direttività corrisponde ancora a  $\theta = 0^\circ$

$$\Rightarrow I_0 = \frac{k_0^2}{8\pi^2 \eta_0} |f_y|_{\theta=0}^2 = \frac{a^2 b^2}{\lambda^2} E_0^2 \cdot \frac{2}{\eta_0 \pi^2}$$

In fine si ottiene la direttività massima

$$D_0 = 4\pi \frac{I_0}{P_r} = 4\pi \frac{a^2 b^2 E_0^2 \cdot 2}{\eta_0 \lambda^2 a b E_0^2 \pi^2} \cdot \frac{1}{Z_{10}} = \frac{32}{\pi^2} \frac{a b}{\lambda^2} \frac{Z_{10}}{\eta_0}$$

$$\text{ma } \frac{Z_{10}}{\eta_0} = \frac{k_0}{\beta_{10}} = \frac{2\pi}{\lambda \beta_{10}}$$

$$\Rightarrow \boxed{D_0 = \frac{64 a b}{\lambda^3 \beta_{10}}} \equiv \frac{64 S}{\lambda^3 \beta_{10}} \Rightarrow \boxed{A_e = \frac{\lambda^2}{4\pi} D_0 = \frac{16 S}{\pi \lambda \beta_{10}}}$$

[ Balanis trova la relazione  $D_0 = 0.81 a b \frac{4\pi}{\lambda^2}$    
  $\rightarrow$  meno accurata ]

Per l'esempio numero precedente e:

$$\beta_{10} = \sqrt{k_0^2 - \left(\frac{\pi}{a}\right)^2} \quad \text{per } f = 10 \text{ GHz} \quad - \text{ centro banda}$$

$$= 1.58 \cdot 10^{-2}$$

$$S = a \cdot b = 2.33 \cdot 10^{-4} \text{ m}^2$$

$$D_0 = 3.5$$

NOTA se calcolo l'efficienza di aperture con  $\eta_{Ap} = \frac{A_{eA}}{A_0} = \frac{\lambda^2}{4\pi} D_0 \frac{1}{A_0} = 1.07!!$

significa che non è molto efficiente la stima del campo di aperture.

Se l'onda partita da campo elettrico e magnetico di aperture, avrei trovato

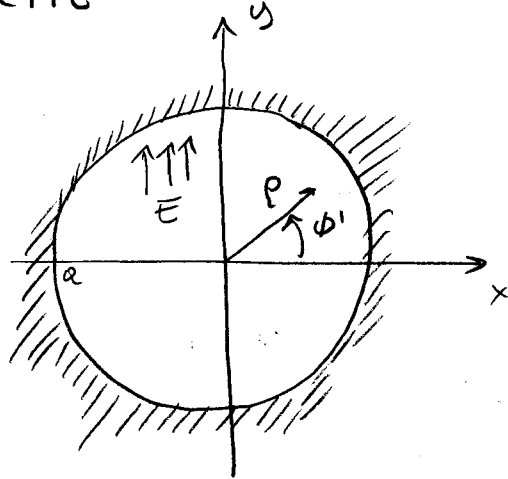
$$D_0 = 3.07 \Rightarrow \eta_{Ap} = 94\% \quad \text{OK}$$

Con l'espressione di Balanis  $\Rightarrow D_0 = 2.77$  (meno accurata)

## b) Guide Circolare

ILLUMINAZIONE UNIFORME

$$\underline{E}_e = \begin{cases} E_0 \hat{y} & \rho < a \\ 0 & \rho > a \end{cases}$$



$$f_y = \int_0^{2\pi} \int_0^a E_0 e^{j\tilde{k}_x x + j\tilde{k}_y y} da$$

in coordinate polari e

$$da = \rho d\rho d\phi'$$

$$x = \rho \cos\phi'$$

$$y = \rho \sin\phi'$$

l'esponente diventa

$$\begin{aligned} \tilde{k}_x x + \tilde{k}_y y &= \rho k_0 [\cos\phi \cos\phi' \sin\theta + \sin\phi \sin\phi' \sin\theta] \\ &= \rho k_0 \sin\theta \cos(\phi - \phi') \end{aligned}$$

$$f_y = E_0 \int_0^{2\pi} \int_0^a e^{j\rho k_0 \sin\theta \cos(\phi - \phi')} \rho d\rho d\phi'$$

vale l'integrale notevole

$$\int_0^{2\pi} e^{j\gamma \cos\psi} d\psi = 2\pi J_0(\gamma)$$

per cui

$$f_y = E_0 \int_0^a 2\pi J_0(\gamma) \frac{\gamma}{(k_0 \sin\theta)^2} d\gamma$$

$$\gamma = \rho k_0 \sin\theta$$

$$\psi = \phi - \phi'$$

$$d\gamma = d\rho \cdot k_0 \sin\theta$$

$$\Rightarrow d\rho = \frac{d\gamma}{k_0 \sin\theta}$$

$$\Rightarrow f_y = \frac{2\pi E_0}{(k_0 \sin \theta)^2} \int_0^{ka \sin \theta} r J_0(r) dr$$

si ricordano le proprietà delle funzioni di Bessel

$$\frac{d}{dr} (r J_1(r)) = r J_0(r)$$

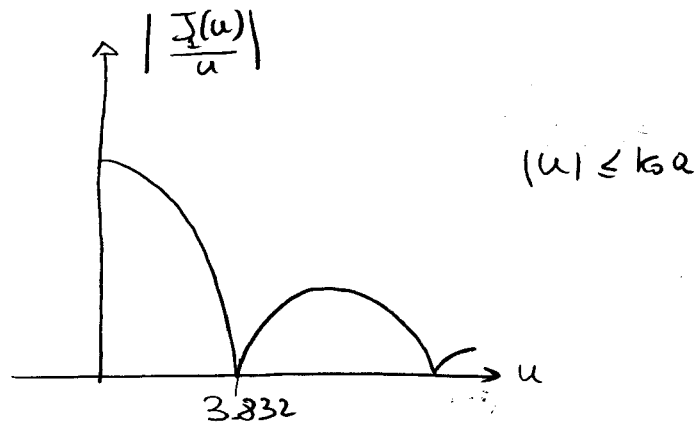
quindi l'integrando è proprio  $d(r J_1(r))$

$$\Rightarrow f_y = \frac{2\pi E_0}{(k_0 \sin \theta)^2} \left[ r J_1(r) \right]_0^{ka \sin \theta} = \frac{2\pi E_0 a}{k_0 \sin \theta} J_1(ka \sin \theta)$$

$$\text{sia } S = \pi a^2 \text{ e } u = ka \sin \theta$$

$$f_y = 2 S E_0 \frac{J_1(u)}{u}$$

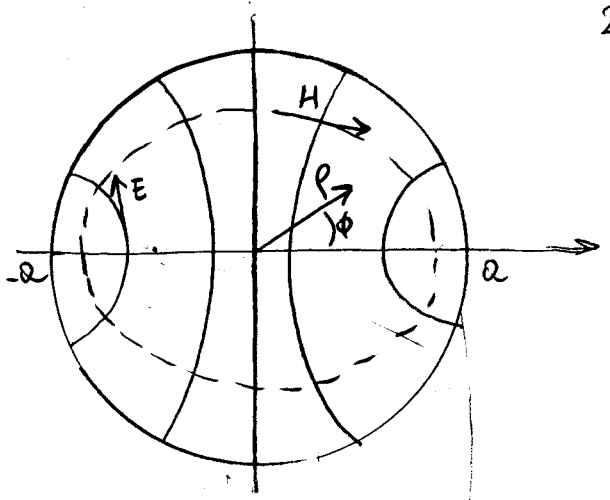
Assomiglia molto al  $\sin(u)/u$



In questo caso il diagramma di radiazione è simmetrico rispetto l'asse dell'apertura.

# ILLUMINAZIONE TE<sub>11</sub>

tipico illuminatore di sistemi parabolici domestici



$$\begin{cases} E_\rho = \frac{2 \sin \phi}{\rho} J_1(1.84 \rho/a) \\ E_\phi = \frac{2a \cos \phi}{1.84} \frac{d}{d\rho} J_1(1.84 \rho/a) \end{cases}$$

Bisogna riscrivere l'espressione del campo d'apertura in coordinate rettangolari

$$\begin{cases} E_x = J_2(1.84 \rho/a) \sin 2\phi \\ E_y = J_0(1.84 \rho/a) - J_2(1.84 \rho/a) \cos 2\phi \end{cases}$$

avendo usato le relazioni di ricorrenza delle funzioni di Bessel

$$\begin{aligned} \frac{d}{du} J_m(u) &= \frac{1}{2} [J_{m-1}(u) - J_{m+1}(u)] \\ \frac{u}{u} J_m(u) &= \frac{1}{2} [J_{m-1}(u) + J_{m+1}(u)] \end{aligned}$$

Avendo integrato i campi di apertura e trovato  $E_x$  o  $E_y$ , i campi contenuti in ciascuna sono:

$$\begin{cases} E_\theta \approx j \frac{k_0}{r} e^{-ik_0 r} 2a^2 \sin \phi \frac{J_2(1.84u)}{1.84u} \cdot \left( \frac{J_2'(u)}{u} \right) \\ E_\phi \approx \frac{j k_0}{r} e^{-ik_0 r} 2a^2 \cos \phi \cos \theta \left[ \frac{1.84 J_1(1.84u)}{1.84^2 u^2} \frac{dJ_1(u)}{du} \right] \end{cases} \quad u = k_0 a \sin \theta$$

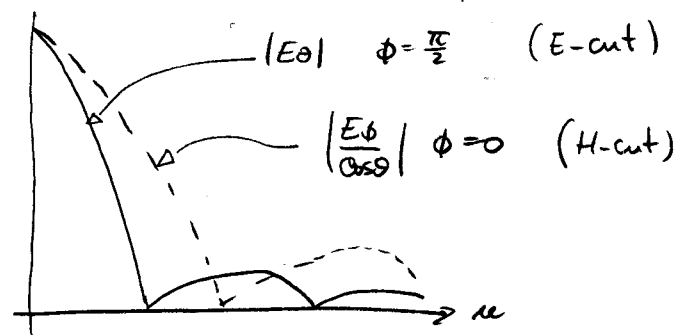
$\phi = \pi/2$  (E-plane)  
( $E_\theta$ )

- steno esattamente del caso di illuminazione uniforme

$\phi = 0$  (H-plane)  
( $E_\phi$ )

- esattamente molto simile e quello nel piano H delle guide rettangolari con TE<sub>10</sub>

$$D_0 = \frac{66 \pi a^2}{\beta \lambda_0 \lambda_0^2}$$



# TROMBE (horn)

fine 1800 : primi studi

1930s : grande sviluppo durante la II guerra mondiale

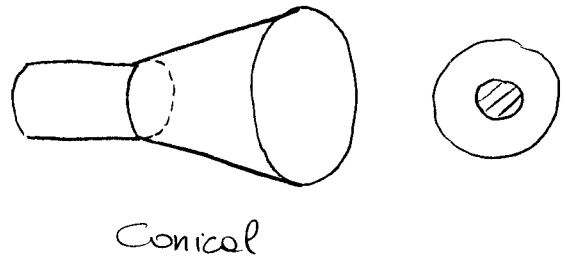
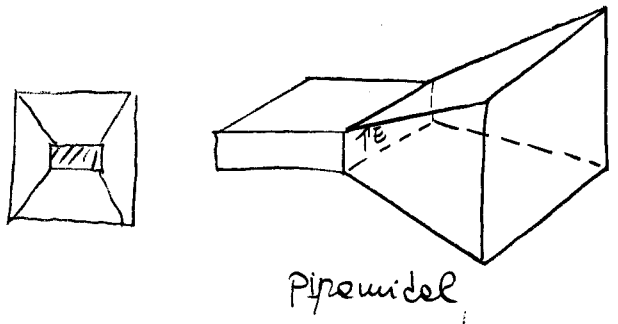
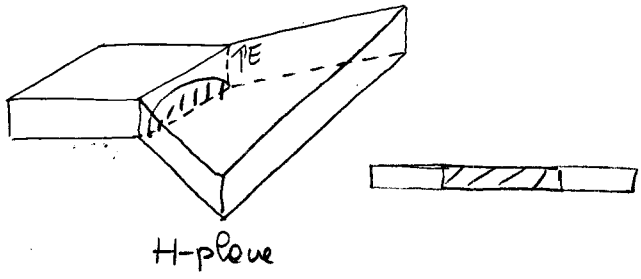
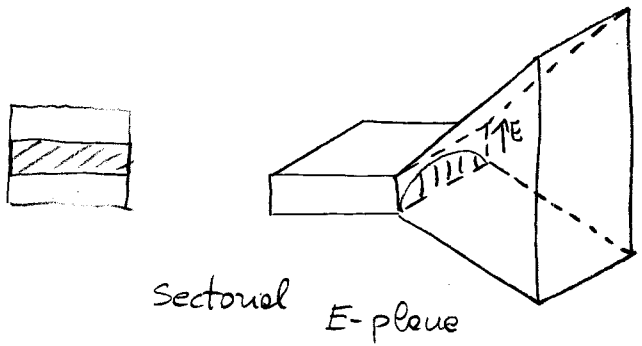
## Caratteristiche:

- buon guadagno (10-20dB)
- banda elevata
- facilità di realizzazione

## Utilizzo

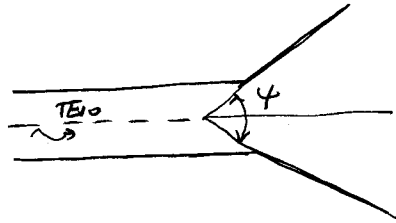
- feed di antenne e riflettore
- radiatore elementare di array di elevate prestazioni
- sistemi di misura per antenne ed elevate direttività

Esistono quattro geometrie base:



Sono ottenute da una guida d'onda rettangolare e crescono aumentando l'area delle bocche al fine di aumentare la direttività.

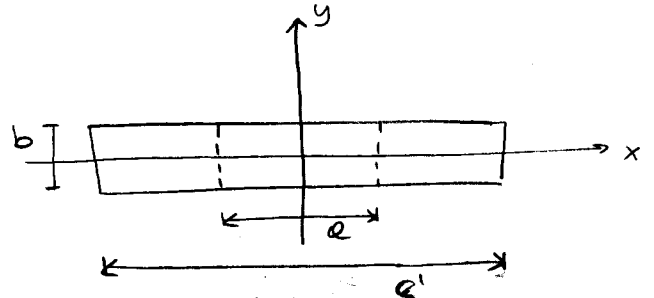
Il parametro importante è l'angolo di FLARE (svasatura)



### H-plane Horn

Per applicare il formalismo delle antenne ed aperture bisogna fare qualche ipotesi sul campo di bocca.

Per angoli di flare γ non troppo elevati, si può assumere che non ci sia deformazione del TE<sub>10</sub> che alimenta la horn



$$E_z (horn) : \begin{cases} E_y = E_0 \cos \frac{\pi x}{a'} \otimes \\ H_x = -\frac{E_y}{\eta_0} \end{cases} \quad \begin{matrix} a \leftarrow a' \\ Z_g \leftarrow \eta_0 \end{matrix}$$

infatti  $k_z = \sqrt{k_0^2 - \left(\frac{\pi}{a'}\right)^2} = k_0 \sqrt{1 - \frac{\pi^2}{a'^2 k_0^2}} = k_0 \sqrt{1 - \frac{\lambda^2}{4a'^2}}$

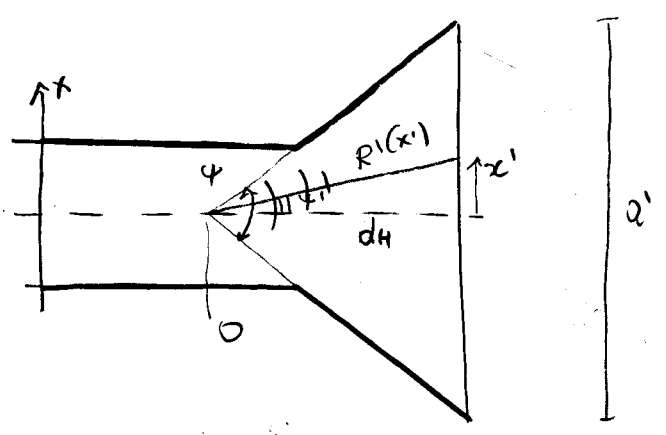
se l'apertura è sufficientemente larga ( $a' \gg \lambda$ ) allora

$$Z_{10} = \frac{k_0}{\beta_{10}} \eta_0 \quad k_z \rightarrow k_0 \quad e \quad Z_g \rightarrow \eta_0$$

⊗ il campo di apertura è ancora considerato come equifase (in tal caso si ha la massima direttività)

In realtà, le fase del campo sulle bocche non sarà uniforme

La differenza di fase tra un qualunque punto sull'apertura ( $R'$ ) e un punto che si trova lungo l'asse ( $dh$ ) è data da



$$R - dh = \sqrt{x'^2 + dh^2} - dh \quad | \times k_0$$

(si è supposto che dal punto  $O$  siano generate delle onde cilindriche - modello a guida radiale)

per angoli di fase non troppo grandi

$$\Delta\phi = k_0(\sqrt{x'^2 + dh^2} - dh) = k_0 dh \left( \sqrt{\left(\frac{x'}{dh}\right)^2 + 1} - 1 \right) \approx k_0 dh \left( 1 + \frac{1}{2} \frac{x'^2}{dh^2} - 1 \right) = \frac{1}{2} k_0 \frac{x'^2}{dh}$$

Il campo elettrico di apertura si scrive

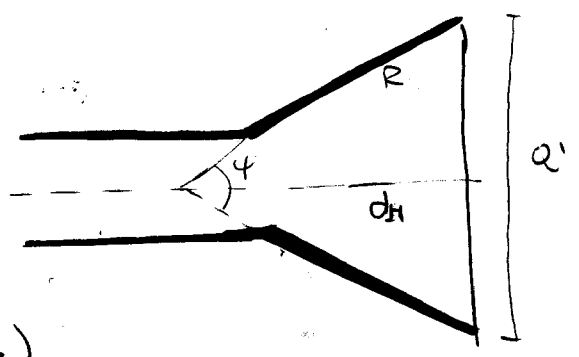
$$E_{ye} = E_0 \cos \frac{\pi}{q'} x \underbrace{e^{-j \frac{k_0 x'^2}{2dh}}}_{\text{correzione quadraticca di fase}}$$

Si può normalmente poi applicare la trasformata di Fourier

Per avere una direttività elevata, conviene che il campo di apertura sia il più possibile uniforme.

Le condizione che si cerca di rispettare è che

$$k_0 [R - dh] \leq \frac{\pi}{4} \Rightarrow \text{condizione su } \phi \text{ e } a'$$



$$\frac{q'}{2} = R \sin \frac{\phi}{2} \Rightarrow R - dh = R (1 - \cos \frac{\phi}{2})$$

$$dh = R \cos \frac{\phi}{2}$$

$$(R - dh) \leq \frac{\pi}{4k_0} \Rightarrow R (1 - \cos \frac{\phi}{2}) \leq \frac{\pi}{4k_0}$$

$$\uparrow$$

$$R = \frac{q'}{2 \sin \frac{\phi}{2}}$$

$$\frac{1 - \cos \psi/2}{\sin \psi/2} \leq \frac{\pi}{4k_0 a'} = \frac{\pi}{2 \cdot 2\pi a'} = \frac{\lambda}{4a'}$$

$$\frac{1 - \cos \frac{\psi}{2}}{\sin \frac{\psi}{2}} = \frac{2 \sin^2 \frac{\psi}{4}}{\sin 2(\frac{\psi}{4})} = \frac{2 \sin^2 \frac{\psi}{4}}{2 \sin \frac{\psi}{4} \cdot \cos \frac{\psi}{4}} = \frac{\sin \frac{\psi}{4}}{\cos \frac{\psi}{4}} = \tan \frac{\psi}{4}$$

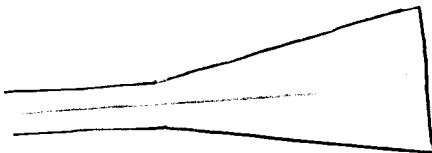
quindi

$$\tan \frac{\psi}{4} \leq \frac{\lambda}{4a'}$$

In queste condizioni non occorre avere le fronti dell'apertura uniformi.

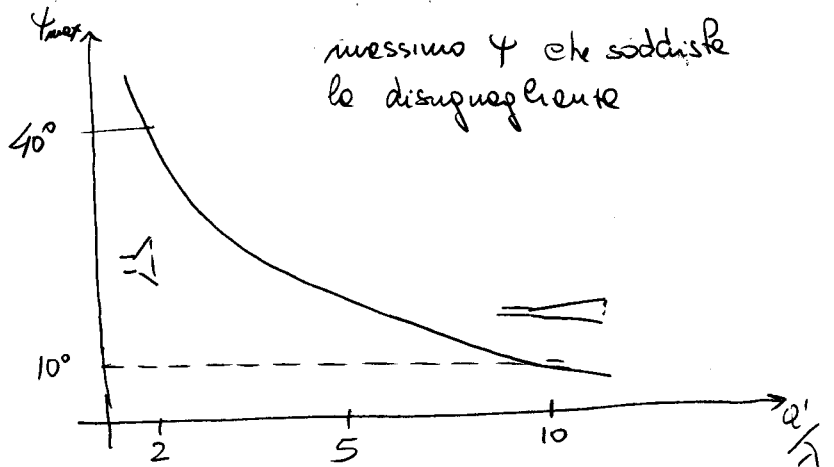
per  $a'$  grandi  
bisogna fare l'angolo  
di fase piccolo

non sempre



Condizione per avere una fase quasi costante sull'apertura e utilizzare quindi le formule della guida d'onda (massimo guadagno)

massimo  $\psi$  che soddisfa  
la disuguaglianza



## DIRETTIVITA

Si può usare l'espressione trovata per le guide d'onda tronche sostituendo

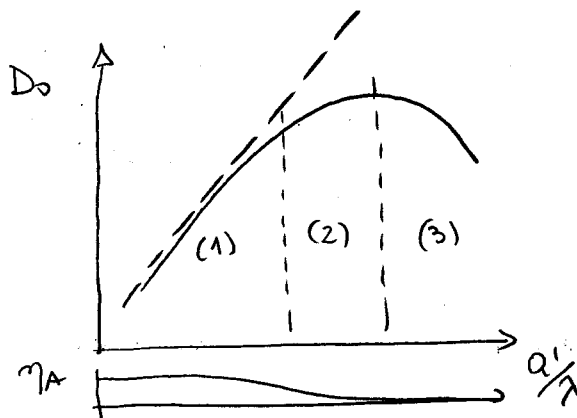
$$a \leftarrow a' \quad e \quad k_z \leftarrow \eta_0$$

$$D_{\text{guide}} = \frac{64 ab}{\beta_{10} \lambda^3}$$

$$D_{\text{H-horn}} = \frac{64 a' b}{k_0 \lambda^3} = \frac{64 a' b}{2\pi \lambda^2} = 10.2 \frac{a' b}{\lambda^2}$$

Diagramma di radiazione simile a quello di una guida tronca

Dall'espressione precedente della direttività, ci si aspetterebbe che, fissate le lunghezze delle horn, la direttività aumenti rido riuativa-  
mente con  $a'$ . In realtà c'è il seguente andamento



Ma non meno che la  
curva è sempre meno  
lineare, diminuisce  
l'efficienza di apertura

(1) c'è una dipendenza quasi lineare finché la differenza di fase massima nell'apertura è  $k_0(R-dH) \leq \pi/4$  e la direttività è ancora ben calcolata dalla formula precedente

(2) la differenza di fase è più grande e quindi l'interferenza costruttiva nel broadside risulta degradata. Il valore massimo di direttività si ottiene quando

$$\Delta\phi = k_0(R-dH) \approx \frac{3}{4}\pi \Rightarrow a'_{opt} = \sqrt{3dH\lambda}$$

[In fatti si era trovato  $k_0(R-dH) \approx \frac{k_0 x^2}{2dH} |_{x=a'/2}$ ]

In tal caso non si può più utilizzare la precedente formula di direttività, che considera un campo di apertura equifase, bensì

$$D_0 = 10.2 \frac{a'b}{\lambda^2} \left( \frac{1}{1.3} \right)$$

circa -1.0 dB di  
attenuazione rispetto  
ad una apertura equifase

tiene conto del degra-  
di direttività rispetto al  
caso equifase.

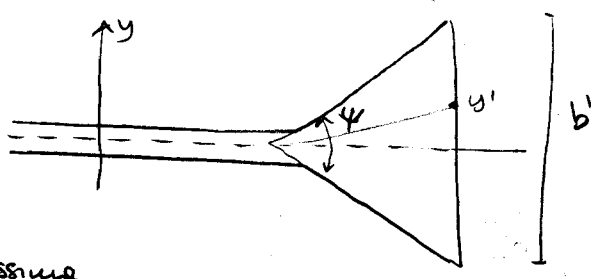
→ in altri termini viene ridotta  
l'efficienza d'apertura

**E-plane horn**

Ragionamento analogo alle H-plane horn

$$\tan \frac{\psi}{4} \leq \frac{\lambda}{4b'}$$

in questa condizione si può ancora trascurare la variazione di fase nell'apertura ai fini del calcolo della direttività.



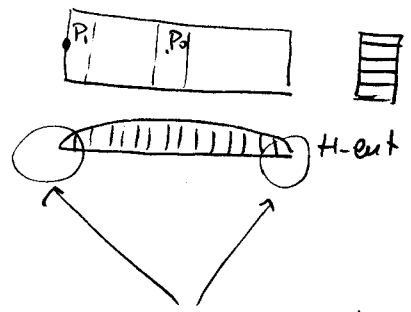
Per un'antenna di lunghezza finita, la massima direttività si ottiene aumentando  $\psi$  fino a tollerare un errore di fase massimo di  $\frac{1}{2}\pi$ . In tal caso

$$D_E = \frac{10.2 a b'}{\lambda^2} \cdot \frac{1}{1.25}$$

$$b_{opt} = \sqrt{2\lambda a D_E}$$

circa 1.0 dB di attenuazione rispetto al caso di aperture equifase.

**NOTA** : nel caso di H-plane horn, l'errore di fase tollerato è più alto rispetto al caso E-plane perché in nell'H-plane il campo di apertura va a zero sulle estremità e quindi per questo l'errore di fase. Nell'altro caso il campo di apertura è costante

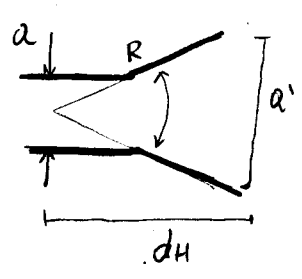
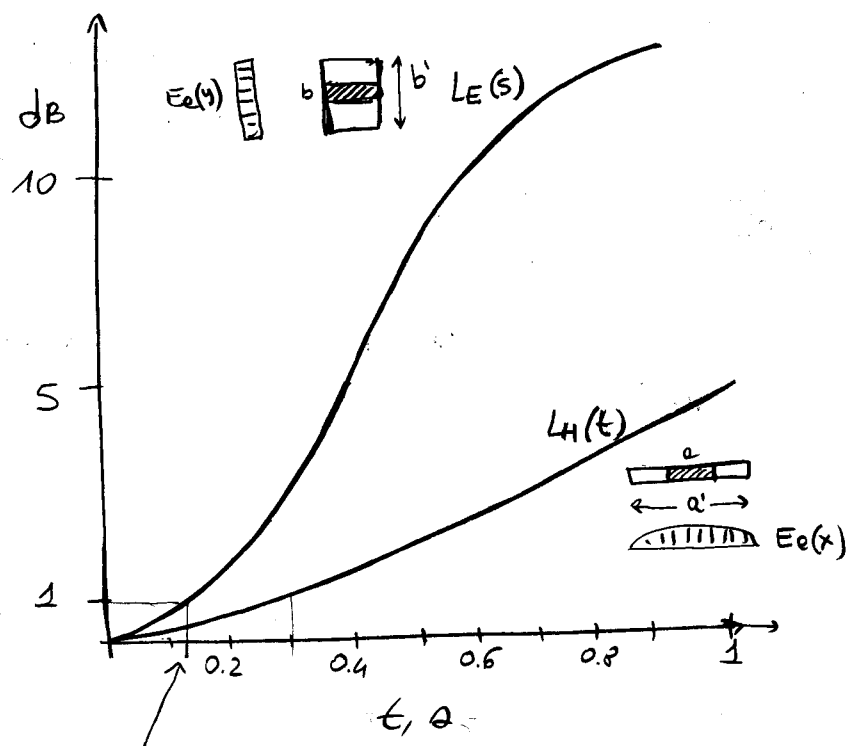


in questi punti il campo va a zero, e quindi anche se la differenza di fase tra due punti  $P_1$  e  $P_2$  (come in figura) è grande, l'ampiezza in  $P_1$  è piccola e quindi contribuisce poco al fenomeno di interferenza

All'incirca di fare quadratica è associata una riduzione di guadagno, sia nelle configurazioni E-plane e H-plane, illustrate nel grafico seguente

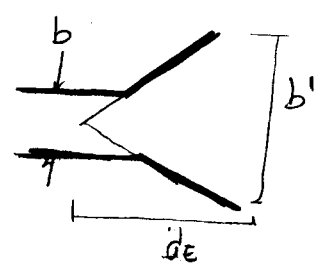
$L_E$ : riduzione del guadagno (in dB) per effetto dell'angolo di fase nell'apertura (rispetto e considerare il campo  $E_0$  equifase)

Loss figure  
sono legate all'efficienza di apertura



situazioni ottimali (perdite di circa 1dB) (angolo di fase massimo)

$$t \cong \frac{R-dh}{\lambda} \cong \frac{a'^2}{8\lambda dh}$$



$$\theta \cong \frac{R-de}{\lambda} \cong \frac{b'^2}{8\lambda de}$$

Questo grafico è molto importante in fase di progettazione.

Posso infatti usare sempre le formule di direttività per aperture rettangolari equifase e farlo di sottoradi, su  $de, L$

$$D_{horn} = D_0 - L_{E,H}$$

# Horn Piramidali

Flessibile sia sul piano E che sul piano H

Stesse considerazioni: avendo fissato la lunghezza delle horn, a' e b' vanno scelte per avere la massima direttività in modo che

su H-piano : max fase error  $\frac{3}{4} \pi = k_0(R-d_H)$

su E-piano :  $\frac{1}{2} \pi = k_0(R-d_E)$

La direttività ottimale si scrive come:

$$D_p = 10.2 \frac{a'b'}{\lambda^2} \frac{1}{1.3} \frac{1}{1.25} \approx 6.3 \frac{a'b'}{\lambda^2}$$

↑ ↑  
perdite di guadagno per effetto delle fessure quadrate

Per tenere conto, in generale, delle perdite di direttività per effetto dell'errore di fase nell'apertura, si usa la seguente formula

$$D_p (dB) = 10 \left[ 1.008 + \log_{10} \left( \frac{a'b'}{\lambda^2} \right) \right] - (L_E + L_H)$$

aperture equifase con TE<sub>10</sub>      degnato conto alle non equifase

Efficienza d'apertura dell'ordine del 50-60%  
(nel caso di aperture con guadagno ottimale)

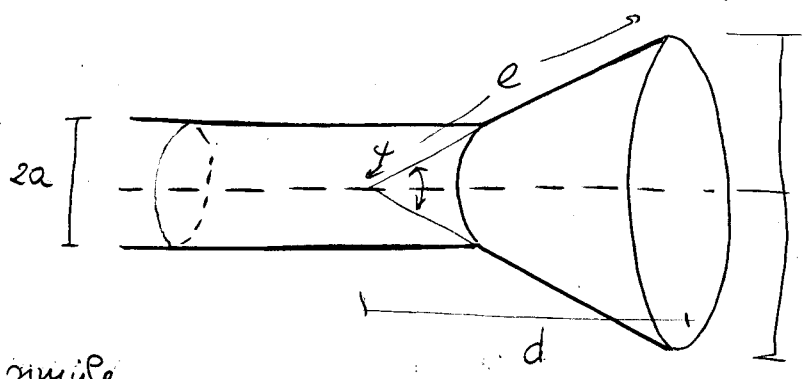
→ Asimmetria emil del ML

Problema

incompatibilità con guide d'onda rettangolari

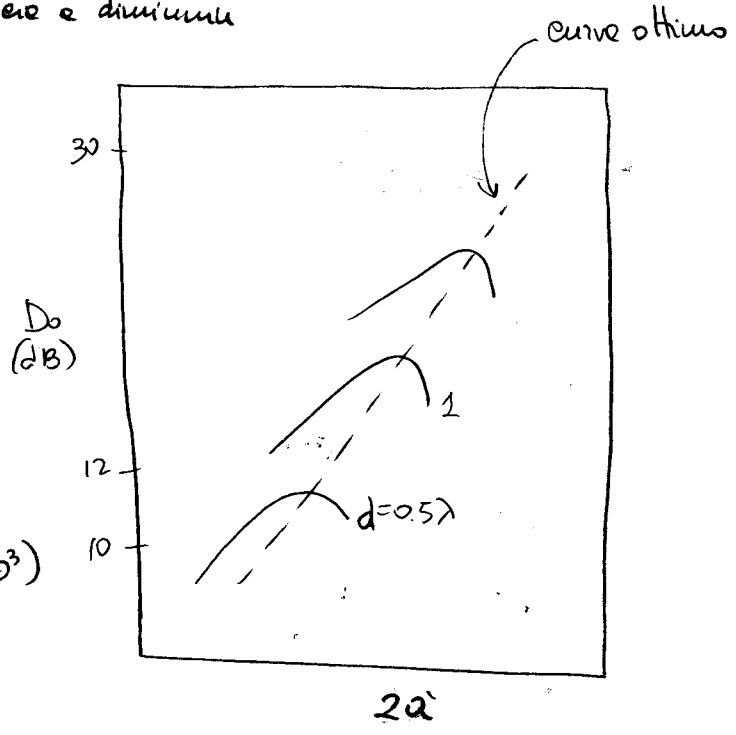
HORN CONICHE

E' alimentata da  
una guida circolare



Il comportamento è simile  
a quello di una horn piramidale

All'aumentare dell'angolo di flare, la direttività (per una  
specifica lunghezza) aumenta finché raggiunge  
un valore massimo. Poi comincia a diminuire  
per il degrado dovuto  
all'errore di fase nel campo  
di apertura



$$D_o (dB) = 10 \log_{10} \left( \frac{C}{\lambda} \right)^2 - L(s)$$

$$C = \pi a^2$$

$$L(s) = (0.8 - 1.71s + 26.25s^2 - 17.73s^3)$$

$$s = \frac{d}{8\lambda l}$$

termine di correzione per tener conto  
dell'errore di fase

La direttività ottimale si ha per la seguente  
relazione tra diametro e lunghezza e

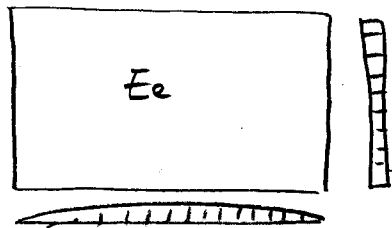
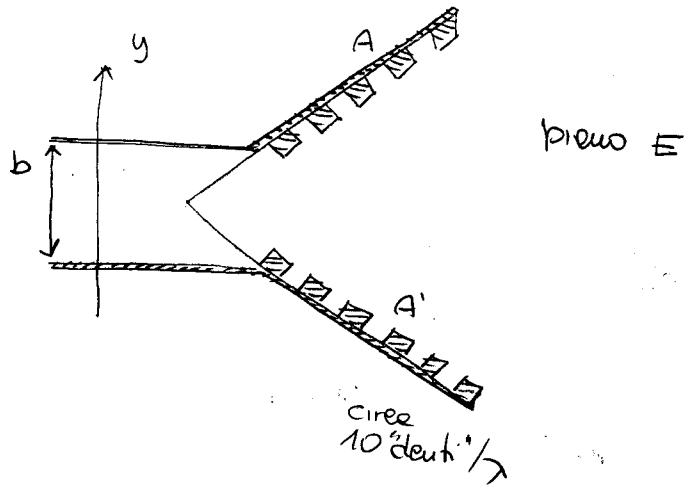
$$2a'_{opt} \approx \sqrt{3l\lambda}$$

(max onore di fase  $\frac{3}{4}\pi$ )

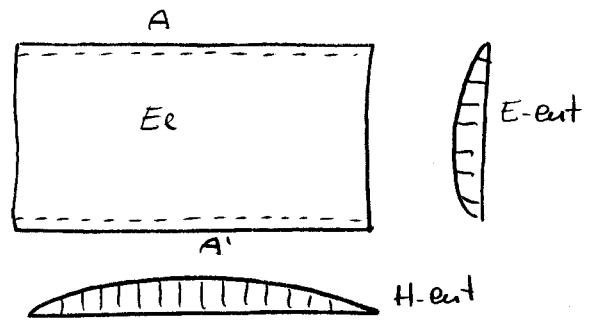
# HORN CORRUGATE

← riduzione delle discontinuità nel piano E

- Simmetria eniale del foro
  - piano E = piano H
- riduzione SL (attenuazione dell'effetto di bordo)
- bene cross-polarizzatore



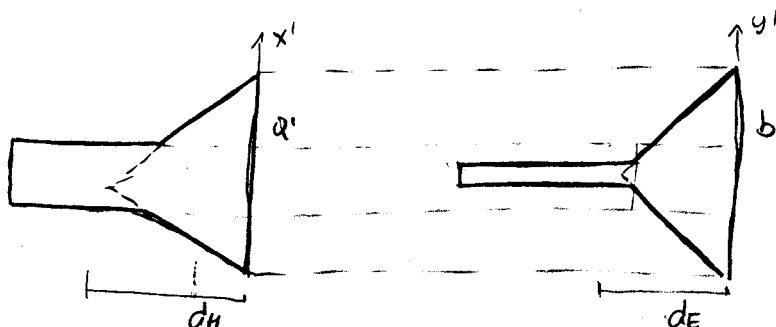
senza corrugazioni



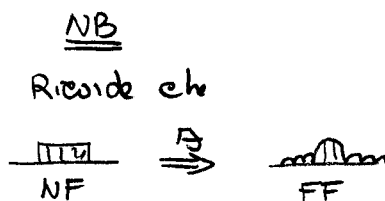
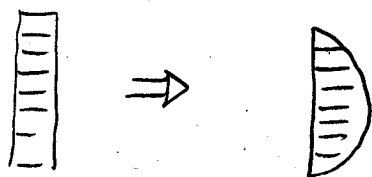
con corrugazioni nel piano E

Le pareti A e A' forniscono una condizione al contorno che non è più  $\hat{n} \times \underline{E} = 0$  ma di tipo ibrido (tipo impedenza superficiale). Le componenti di campo elettrico può quindi entrare ed annullarsi in corrispondenza di A e A' e allora il pattern di  $E_e$  nel piano E sarà simile a quello nel piano H

$$E_y(x, y) = E_0 \cos\left(\frac{\pi}{a'} x'\right) \cos\left(\frac{\pi}{b'} y'\right) e^{-j k_0 \left(\frac{x'^2}{2a'} + \frac{y'^2}{2b'}\right)}$$



Con queste soluzioni viene notevolmente ridotta le discontinuità sul bordo sull'E-cut

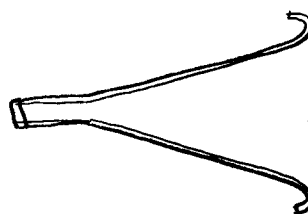


Di conseguenza diminuisce il livello dei lobi secondari (come effetto del doppio tapering) e il lobo principale si allarga (aumento del BW).

La coniugazione va normalmente fatta solo sul piano E perché è in quel piano che c'è una maggior discontinuità del campo di apertura

### APERTURE MATCHED HORN

↳ bordi delle bocche della horn vengono ripiegati e arrotondati in modo da ridurre le discontinuità.



- più graduale passaggio tra campo guidato e campo irradato
- riduzione dei lobi secondari
- soluzione più economica rispetto alle horn coniugate.

## WAVEGUIDE AND HORN ANTENNAS



# OTTICA GEOMETRICA

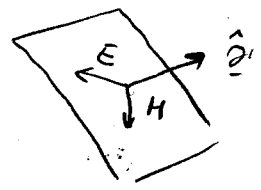
Formulazione per analizzare l'interazione tra campi elettromagnetici e strutture molto grandi. Le sorgenti che generano il campo è normalmente considerate nel campo lontano delle strutture

- antenne e riflettori (parabole)
- propagazione in ambiente urbano.

- 1) Il campo elettromagnetico si propaga per onde localmente piane
- 2) la propagazione emette lungo traiettorie dette raggi ( $\hat{s}$ )
- 3) si definisce fronte d'onda la superficie equifase del campo
- 4) i raggi sono ortogonali ai fronti d'onda

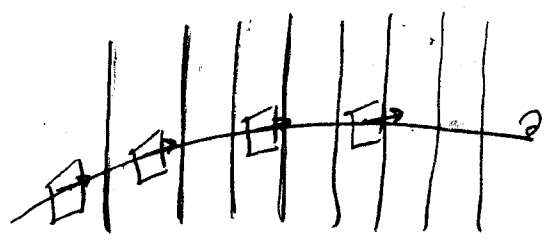
$$\underline{E} = \frac{1}{\eta_0} \underline{H} \times \hat{s}$$

5) in mezzi omogenei le traiettorie sono rettilinee



6) in mezzi non omogenei le traiettorie possono essere curve

$$n(r) \quad n = \sqrt{\epsilon_r}$$



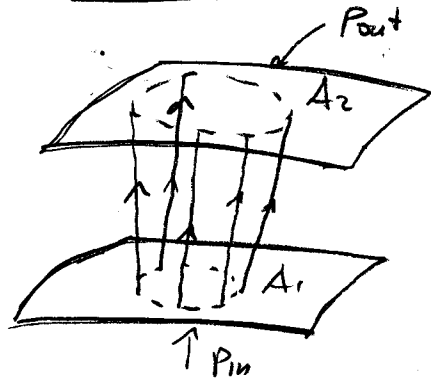
mezzo a indice di rifrazione variabile

7) un insieme di raggi individui in tubo di flusso.

- La potenza si conserva entro un tubo di flusso

$$P_{in} = P_{out}$$

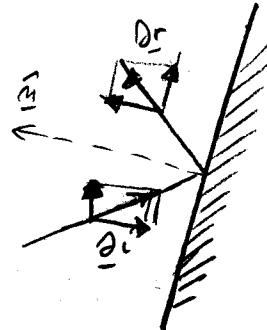
- cambia invece la densità di potenza dentro un tubo di flusso in regione della sezione
- il campo non cambia di potenziale entro un tubo di flusso



8) quando un raggio (tubo) incontra una superficie perfettamente conduttrice, viene riflesso secondo le leggi di Snell.

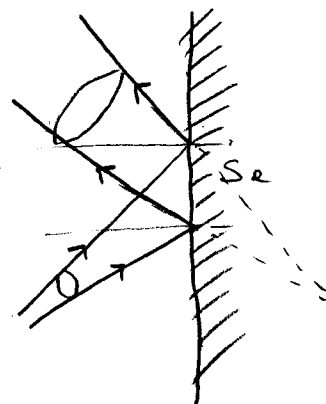
$$\hat{r} = \hat{e}_i - 2(\hat{n} \cdot \hat{e}_i) \hat{n}$$

- componente normale cambia di segno
- componente tangente si conserva



- Il tubo di flusso <sup>virtuale</sup> si allunga (se la superficie è piana)
- Il tubo incidente e riflesso hanno la stessa sezione di incidenza se

Se la superficie è curva si hanno tubi riflessi di forme diverse



Il tubo riflesso proviene dall'immagine della sorgente reale

g)

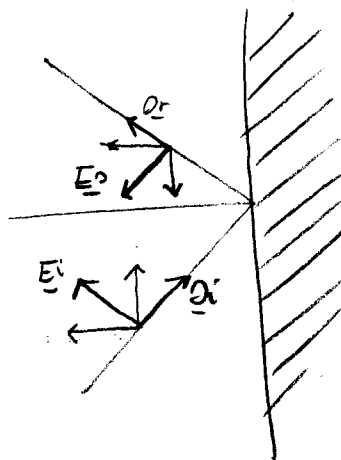
Il campo elettrico, durante la riflessione, è soggetto alle seguenti leggi:

$$\underline{E}_r = -\underline{E}_i + 2(\hat{m} \cdot \underline{E}_i)\hat{m}$$

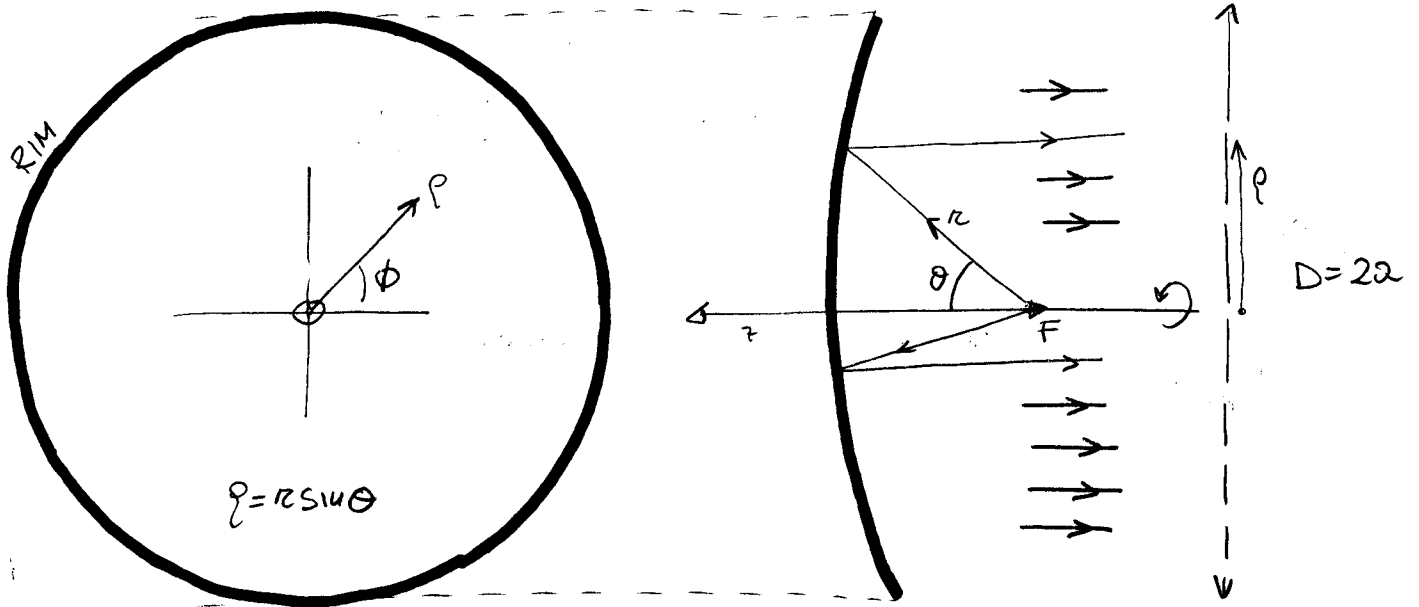
$$\rightarrow \underline{E}_{r\perp} = \underline{E}_{i\perp}$$

$$\underline{E}_{r\parallel} = -\underline{E}_{i\parallel}$$

Si ha quindi un cambiamento di polarizzazione per riflessione.



# RIFLETTORE PARABOLICO



$(\rho, \theta)$  coordinate di apertura

Si considero un paraboloide di rotazione attorno l'asse  $z$ .  
 Vale la seguente proprietà. I raggi che provengono dal  
 fuoco della parabola ed incidono su di esso, vengono  
 riflessi tutti paralleli all'asse. Quindi in onde sfere  
 con origine sul fuoco, viene trasformate in onde piane.

Si suppone che il feed, che alimenta la parabola, sia  
 posto a grande distanza dalla parabola (sia cioè lecita  
 l'approssimazione di campo lontano)  $r \gg \frac{2D^2}{\lambda}$

L'equazione della parabola in coordinate polari, riferite al fuoco,

e :

$$r = \frac{2f}{1 + \cos\theta}$$

Nel fuoco si trova un illuminatore puntiforme di intensità di radiazione  $I_F(\theta, \phi)$

La densità di potenza che incide sul riflettore è

$$S''(\theta, \phi) = \frac{I_F(\theta, \phi)}{r^2} = \frac{I_F(\theta, \phi)}{4f^2} (1 + \cos\theta)^2$$

$$= \frac{\cos^4 \frac{\theta}{2}}{f^2} I_F(\theta, \phi)$$

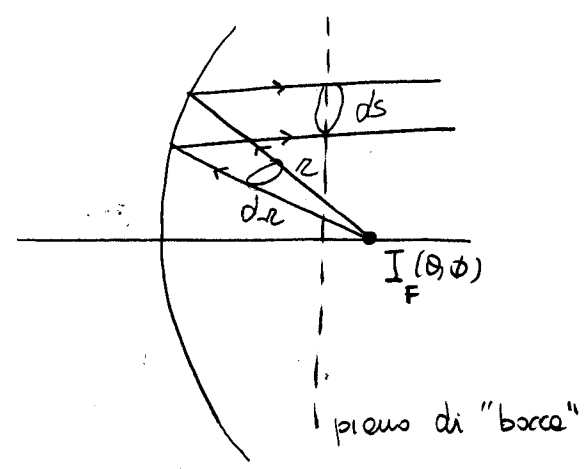
E' utile anche la seguente rappresentazione che coinvolge solo le coordinate d'apertura:

$$S''(\rho, \phi) = I_F(\theta, \phi) \cdot \frac{15f^2}{(\rho^2 + 4f^2)^2} \quad (*)$$

NB Si entra ora e studiamo il campo su un qualunque piano parallelo alla bocca del paraboloide e poi, per il calcolo del campo interno si applicherà il metodo dello specchio d'arte piana. Per la conservazione dell'energia nel tubo di flusso riflesso è

$$I_F(\theta, \phi) d\Omega = S''(\rho, \phi) ds$$

↖ densità  
potenza riflessa  
nel tubo di flusso  
di sezione ds



(\*) Si ottiene ricorrendo  $\cos^2 \frac{\theta}{2}$  dell'identità

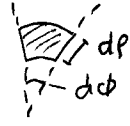
$$r = \frac{\rho}{\sin \theta} \equiv \frac{2f}{1 + \cos \theta}$$

considerando che

$$\frac{1 + \cos \theta}{2} = \cos^2 \frac{\theta}{2}$$

$$\sin \theta = 2 \sin \frac{\theta}{2} \cos \frac{\theta}{2}$$

$$I_F(\theta, \phi) \overbrace{\sin \theta \, d\theta \, d\phi}^{\text{elemento di angolo solido}} = S^r(\rho, \phi) \overbrace{\rho \, d\rho \, d\phi}^{\text{elemento sup. cerchio (piano di base)}}$$



$$S^r(\rho, \phi) = I_F(\theta, \phi) \sin \theta \frac{d\theta}{\rho \, d\rho}$$

$$\text{ma } \frac{d\rho}{d\theta} = \frac{d}{d\theta} (r \sin \theta) = r \cos \theta + r \sin \theta \frac{d\theta/d\theta}{d\theta}$$

$$= 2f \frac{\cos \theta (1 + \cos \theta) + \sin^2 \theta}{(1 + \cos \theta)^2}$$

$$= \frac{2f}{1 + \cos \theta} \equiv h$$

$$\text{quindi } S^r(\rho, \phi) = I_F(\theta, \phi) \sin \theta \frac{1}{\rho \cdot r} = I_F(\theta, \phi) \frac{1}{r^2}$$

$S^r(\rho, \phi) = \frac{I_F(\theta, \phi)}{r^2}$	$\equiv I_F(\theta, \phi) \frac{16f^2}{(\rho^2 + 4f^2)^2}$
---	--

Quindi, sebbene la potenza si conservi nel tubo di flusso riflesso, la densità cambia con il seno delle distanze di osservazione e quindi con la posizione sul piano pocone. Ci si aspetta quindi che il "campo di apertura" non sia uniforme.

Si suppone ora per semplicità che il feed sia un radetore isotropo  $I_F(\theta, \phi) = g_0$ , allora la densità di potenza sull'apertura sarà funzione solo di  $\rho$

$$S^r(\rho)$$

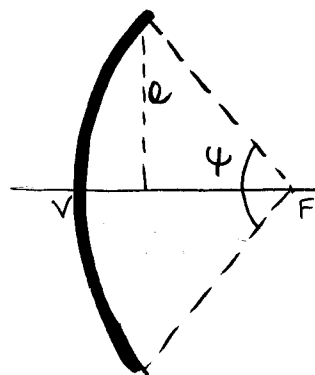
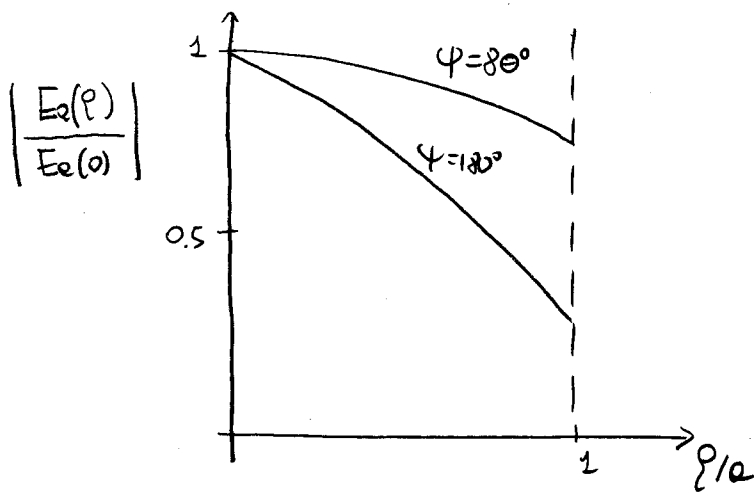
Il modulo del campo d'apertura  $E(\rho)$  è proporzionale alle radici quadrate delle densità di potenza.

$$|E_e(\rho)| \propto \sqrt{S^N(\rho)}$$

→ detta  $S^N(\rho=0) = g_0 \frac{16f^2}{16f^4} = \frac{g_0}{f^2}$  la densità di potenza sull'asse,

si consideri il rapporto tra il modulo del campo elettrico d'apertura nel punto  $\rho$  e il campo elettrico sull'asse ( $\rho=0$ )

$$\frac{|E_e(\rho)|}{|E_e(0)|} = \frac{\sqrt{S^N(\rho)}}{\sqrt{S^N(0)}} = \frac{4f}{4f^2 + \rho^2} \cdot f = \frac{4f^2}{4f^2 + \rho^2}$$



$a$ : raggio del rinvio

$\varphi$ : angolo di apertura delle parabole

Il modulo del campo di bozza diminuisce dal centro verso i bordi ed è tanto meno uniforme quanto più grande è l'angolo di apertura del riflettore.

RIFLETTORE PICCOLO

→  $E_e$  uniforme, poca potenza raccolta

RIFLETTORE GRANDE

→  $E_e$  disomogeneo, grande potenza raccolta

N.B.

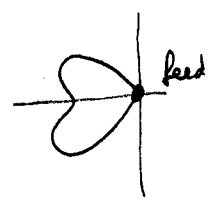
Perché la direttività del paraboloide, pensato come antenna, ad aperture, aumenta quanto più è uniforme il campo di aperture, il feed reale deve avere un diagramma di radiazione tale da compensare la disomogeneità delle densità di potenza dovute alle diverse distanze percorse dai raggi che convergono del fuoco.

Si considere nuovamente le relazioni

$$S^r(\theta, \phi) = \frac{\cos^4 \frac{\theta}{2}}{f^2} I_F(\theta, \phi)$$

si ha quindi un'illuminazione uniforme se il feed ha un diagramma che si avvicina a

$$I_F(\theta, \phi) \sim \sec^4 \frac{\theta}{2}$$



### Efficienze di Spillover

La capacità del sistema a riflettori di raccogliere la potenza irradiata dal feed, può essere quantificata introducendo il seguente parametro di efficienza

$$\eta_s \triangleq \frac{\text{potenza raccolta dalla parabola}}{\text{potenza irradiata dal feed}} \ll 1 \quad \text{Spillover}$$



# PRESTAZIONI DEL SISTEMA FEED + PARABOLA

## 1) Efficienza di Apertura

Si dà una definizione più accurata che tenga conto di polarizzazione e fase:

### □ Situazione di riferimento

Apertura con illuminazione uniforme

$$I_0(\theta, \phi) \llcorner$$

- modulo  $|E|$  costante
- fase  $\angle E$  costante
- polarizzazione lineare nella direzione  $u_{\theta}$  (copolare)

per una qualunque apertura (campo comunque fatto), si definisce efficienza d'apertura:

"il rapporto tra l'intensità di radiazione lungo l'asse dell'apertura, inedita della componente  $u_{\theta}$  <sup>( $I_x$ )</sup> della polarizzazione (copolare), e quella che sarebbe prodotta, a parità di potenza inedita, da una apertura con illuminazione uniforme, e campo polarizzato tutto nella "direzione  $u_{\theta}$ ".

$$\eta_A = \frac{I_x}{I_0}$$

Si dimostra che

$$\eta_A = \eta_F \cdot \eta_i \cdot \eta_x$$

$\eta_i$  - tiene conto delle disuniformità del modulo del campo di aperture

EFF. ILLUMINAZIONE

$$\eta_i \triangleq \frac{\left[ \int_0^{2\pi} \int_0^a E_z(\rho, \phi) \rho d\rho d\phi \right]^2}{\pi a^2 \int_0^{2\pi} \int_0^a |E_z(\rho, \phi)|^2 \rho d\rho d\phi}$$

$E_z$  : componente di campo co-polare

$\eta_p$  - tiene conto delle perdite di efficienza per effetto delle differenze di fase

EFF. FASE

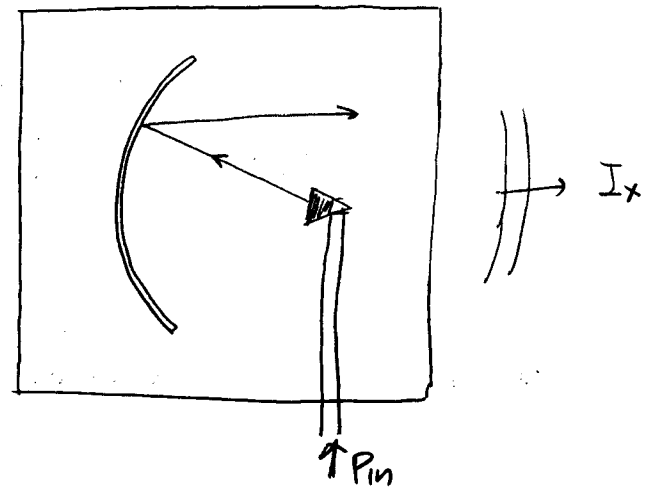
$$\eta_p \triangleq \frac{\left| \int_0^{2\pi} \int_0^a E_z(\rho, \phi) \rho d\rho d\phi \right|^2}{\left[ \int_0^{2\pi} \int_0^a |E_z(\rho, \phi)| \rho d\rho d\phi \right]^2}$$

$\eta_x$  - tiene conto del fatto che solo una parte della potenza disponibile è iniettata nella polarizzazione co-polare

EFF. POLARIZZAZIONE

$$\eta_x \triangleq \frac{\int_0^{2\pi} \int_0^a |E_z(\rho, \phi)|^2 \rho d\rho d\phi}{\int_0^{2\pi} \int_0^a |E(\rho, \phi)|^2 \rho d\rho d\phi}$$

## 2) Guadagno del Sistema



Il guadagno del sistema feed + riflettore parabolico è definito come

$$G = 4\pi \frac{I_x}{P_{in}}$$

$I_x$  : intensità di radiazione immediata del sistema e emessa alle componenti copolare

$P_{in}$  : potenza in ingresso al feed

$$I_x = \eta_A I_0$$

$I_0$  = intensità di radiazione di una antenna con illuminazione uniforme

$$P_F = \eta_F P_{in}$$

potenza immediata dal feed ( $\eta_F$  - efficienza del feed)

$$P_R = \eta_S \cdot P_F = \eta_S \cdot \eta_F P_{in}$$

potenza raccolta dalla parabola e re-immediata ( $\eta_S$  - efficienza di Spillover)

$$\rightarrow P_{in} = \frac{P_R}{\eta_S \eta_F}$$

introducendo nell'espressione del guadagno si ottiene

$$G = 4\pi \eta_A \eta_S \eta_F \frac{I_0}{P_R}$$

le quantità  $4\pi \frac{I_0}{P_R} \equiv D_0$  con illuminazione uniforme

rappresenta le direttività di un'apertura avente le stesse dimensioni della bocca del paraboloide, che incide una potenza complessiva pari a  $P_R$

$$G = \eta_A \eta_S \eta_F D_0$$

L'efficienza del sistema è pertanto

$$\eta = \eta_A \cdot \eta_S \cdot \eta_F$$

Fissate le geometrie delle parabole ( $\eta_S$  fisso), si aumenta il guadagno facendo in modo che

$$\eta_A \rightarrow 1$$

cioè il feed deve essere tale da produrre una illuminazione quanto più uniforme sulla bocca delle parabole.

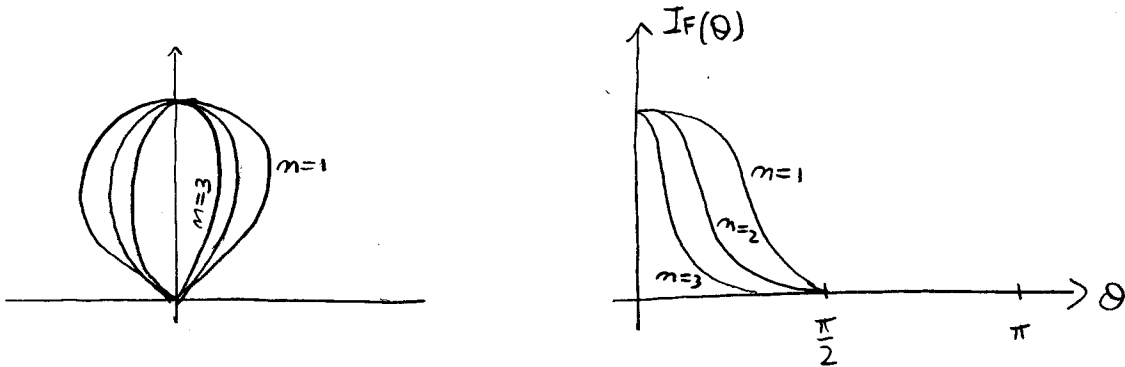
NOTA

Si intuisce che configurazioni che migliorano le  $\eta_S$  possono peggiorare le  $\eta_A$  e viceversa.

Le prestazioni di un sistema a riflettore possono essere descritte considerando il seguente modello semplificato di feed (feed a coseno alla  $u$ )

$$I_F(\theta) = \begin{cases} 2(u+1) \cos^m \theta & 0^\circ \leq \theta \leq \frac{\pi}{2} \\ 0 & \theta > \frac{\pi}{2} \end{cases}$$

simmetria  
rispetto a  $\phi$   
(beam a sezione  
circolare)



L'indice  $n$  controlla il beam-width e quindi la direttività

La costante  $2(u+1)$  è stata scelta in modo che la potenza totale irradiata dal feed sia  $4\pi$

$$P_R = \int_0^{2\pi} \int_0^{\frac{\pi}{2}} I_F(\theta) \sin \theta \, d\theta \, d\phi = 4\pi \equiv 4\pi(u+1) \int_0^{\frac{\pi}{2}} \cos^m \theta \sin \theta \, d\theta$$

In tal caso, se si calcola la direttività del feed si trova

$$D_F(\theta) = 4\pi \frac{I_F(\theta)}{P_R} = I_F(\theta)$$

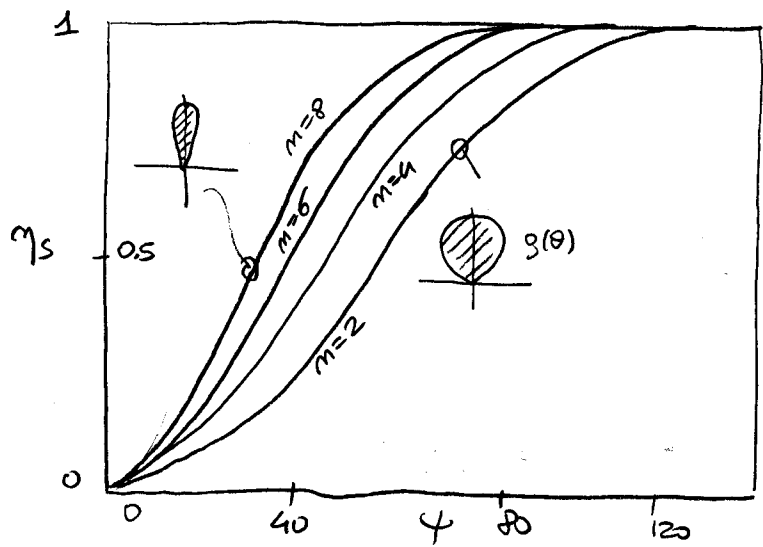
Questo modello di feed semplifica il calcolo delle vere efficienze

Spillover

$$\eta_s = \frac{D_F(0)}{4\pi} \int_0^{2\pi} \int_0^{\psi/2} \frac{I_F(\theta)}{I_F(0)} \sin\theta d\theta d\phi = \{D_F(0) = I_F(0)\}$$

$$= \frac{D_F(0)}{4\pi} 2\pi \int_0^{\psi/2} I_F(\theta) \sin\theta d\theta = (u+1) \int_0^{\psi/2} \cos^m \theta \sin\theta d\theta \equiv \eta_s$$

$\Rightarrow \eta_s = 1 - (\cos \frac{\psi}{2})^{m+1}$



All'aumentare dell'angolo di apertura del riflettore, l'efficienza di spillover tende tanto più rapidamente ad 1 quanto più "m" è alto, cioè per feed più direttivi. Si forse vede che non succede le stesse cose per l'efficienza totale.

Efficienza di illuminazione

ere

$$\eta_i = \frac{[\int_0^{2\pi} \int_0^a E_z(\rho, \phi) \rho d\rho d\phi]^2}{\pi a^2 \int_0^{2\pi} \int_0^a |E_z(\rho, \phi)|^2 \rho d\rho d\phi}$$

che si può anche scrivere come

$$\eta_i = \frac{\left[ \int_0^{2\pi} \int_0^a [S^2(\vartheta, \phi)]^{1/2} \varrho \, d\varrho \, d\phi \right]^2}{\pi a^2 \int_0^{2\pi} \int_0^a S^2(\vartheta, \phi) \varrho \, d\varrho \, d\phi}$$

$S^2(\vartheta, \phi)$  densità di potenza nell'apertura

conviene riportarci all'intensità di radiazione del feed e riscrivere l'integrale in coordinate sferiche. Per la parabola si era trovato

$$\varrho = \frac{2f \sin \vartheta}{1 + \cos \vartheta}; \quad \varrho \, d\varrho = \frac{4f^2 \sin \vartheta}{(1 + \cos \vartheta)^2} d\vartheta \quad (*)$$

$$e \quad S^2(\vartheta, \phi) = I_F(\vartheta) \frac{(1 + \cos \vartheta)^2}{4f^2}$$

Sostituendo nell'espressione dell'efficienza si ha

$$\eta_i = \frac{4f^2}{\pi a^2} \frac{\left[ \int_0^{2\pi} \int_0^{4/2} I_F(\vartheta)^{1/2} \tan \frac{\vartheta}{2} \, d\vartheta \, d\phi \right]^2}{\int_0^{2\pi} \int_0^{4/2} I_F(\vartheta) \sin \vartheta \, d\vartheta \, d\phi}$$

$$\eta_i = \frac{4f^2}{a^2} 2(u+1) \left[ \int_0^{\frac{\pi}{2}} (\cos \vartheta)^{\frac{m}{2}} \tan \frac{\vartheta}{2} \, d\vartheta \right]^2$$

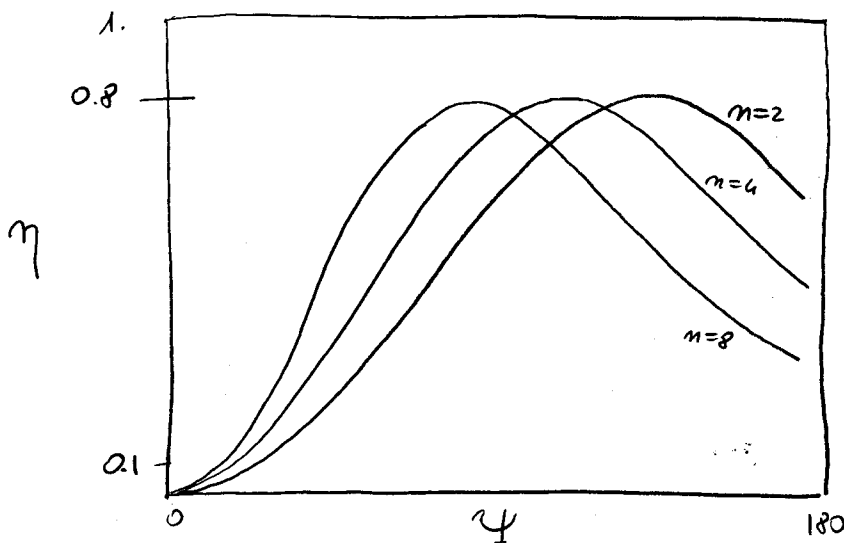
(avendo considerato la proprietà  $\cos \vartheta = 2 \cos^2 \frac{\vartheta}{2} - 1$ )

Nel caso di  $m$  pari, il precedente integrale si può valutare in forme chiuse.

se infine si ammette, per semplicità, che il campo sulle bocche del riflettore sia parabolico lineare e che sia equifase, allora l'efficienza del sistema è semplicemente

$$\eta = \eta_s \cdot \eta_i \quad \text{e si trova:}$$

$$\eta = \eta_s \cdot \eta_i = \cot^2 \frac{\psi}{4} \left\{ \begin{array}{ll} 24 \left( \sin^2 \frac{\psi}{4} + \ln \cos \frac{\psi}{4} \right)^2 & n=2 \\ 40 \left( \sin^4 \frac{\psi}{4} + \ln \cos \frac{\psi}{4} \right)^2 & n=4 \\ 14 \left[ \frac{1}{2} \sin^2 \frac{\psi}{2} + \frac{1}{3} (1 + \cos \frac{\psi}{2})^3 + 2 \ln \cos \frac{\psi}{4} \right]^2 & n=6 \end{array} \right.$$



L'angolo di apertura ottimo si riduce quindi aumentando la direttività (l'ordine) del feed.

Non è possibile ottenere un'efficienza superiore a circa l'80% pur scegliendo in maniera ottimale l'angolo di apertura e l'illuminazione. Infatti le  $\eta_i$  e  $\eta_s$  sono speculari "in contesto": per avere un alto spillover il paraboloide deve essere campo riducendo quindi l'uniformità del campo

di apertura ( $\eta$  diminuisce)

Nei sistemi reali bisogna considerare perdite di efficienza dovute alle polarizzazioni e alla disuniformità di fase.

Valori tipici di efficienza sono  $50 \div 70\%$ .

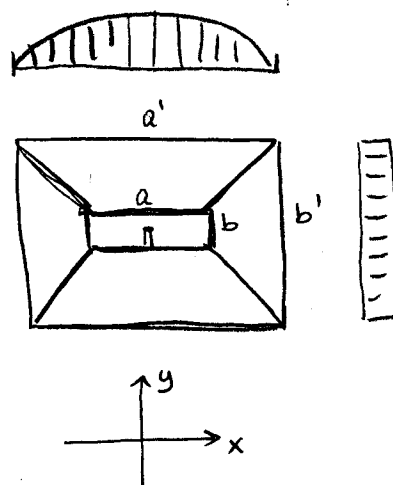
## Sistema Parabolico: Alimentazione con feed reale

Si considere ora un riflettore parabolico illuminato da una hru piramidale posta nel fuoco. Si vuole studiare (calcolare) il campo re-inediato della parabola. Si userà l'ottica geometrica.

- 1) Campo sulla bocca del feed.  
Si suppone ci sia solo il TE<sub>10</sub>

$$E_F = E_0 \cos \frac{\pi}{a'} x \hat{y} \quad (\text{polarizz. verticale})$$

(si è supposto equilatero)



- 2) Campo mediato del feed: è il campo che illumina la parabola

$$E_F^i \approx j k_0 \frac{e^{-jk_0 r}}{2\pi r} f_y \cdot (\sin \phi \hat{\theta} + \cos \phi \cos \theta \hat{\phi})$$

- 3) Campo raccolto dalla parabola, cioè incidente su di essa

$$E^i : \begin{cases} E^i \approx j k_0 \frac{e^{-jk_0 r}}{2\pi r} f_y \cdot (\sin \phi \hat{\theta} + \cos \phi \cos \theta \hat{\phi}) \\ r = \frac{z f}{1 + \cos \theta} \quad - \text{equazione della parabola} \end{cases}$$

↙ determinare i valori di ampiezza e fase del campo sul paraboloidale.

4) Calcolo del campo riflesso (sulle superficie del riflettore) ← leggi di Snell

$$\underline{E}^r = -\underline{E}^i + 2\hat{M}(\underline{E}^i \cdot \hat{M})$$

E' necessario conoscere le normali su tutto il paraboloide. Dotta  $\beta(r, \theta, \phi) = 0$  l'equazione della superficie, allora

$$\hat{M} = -\frac{\nabla\beta}{|\nabla\beta|}$$

Il segno (-) individua la normale interna. Nel caso specifico e'

$$\beta = r - \frac{2f}{1 + \cos\theta}$$

$$\Rightarrow \hat{M} = -\hat{r} \cos \frac{\theta}{2} + \hat{\theta} \sin \frac{\theta}{2}$$



Il campo riflesso diventa pertanto

$$\left\{ \begin{array}{l} \underline{E}^r \approx -j \frac{k_0}{2\pi r} e^{-jk_0 r} f_y \left\{ \begin{array}{l} \hat{x} \sin\phi \cos\phi (1 - \cos\theta) + \\ \hat{y} (\sin^2\phi + \cos^2\phi \cos\theta) \end{array} \right\} \\ r = \frac{2f}{1 + \cos\theta} \end{array} \right.$$

Questo è il campo che troviamo sulle bocche dell'antenna, dal quale si potrà poi calcolare il campo lontano con l'unico metodo di Fourier.

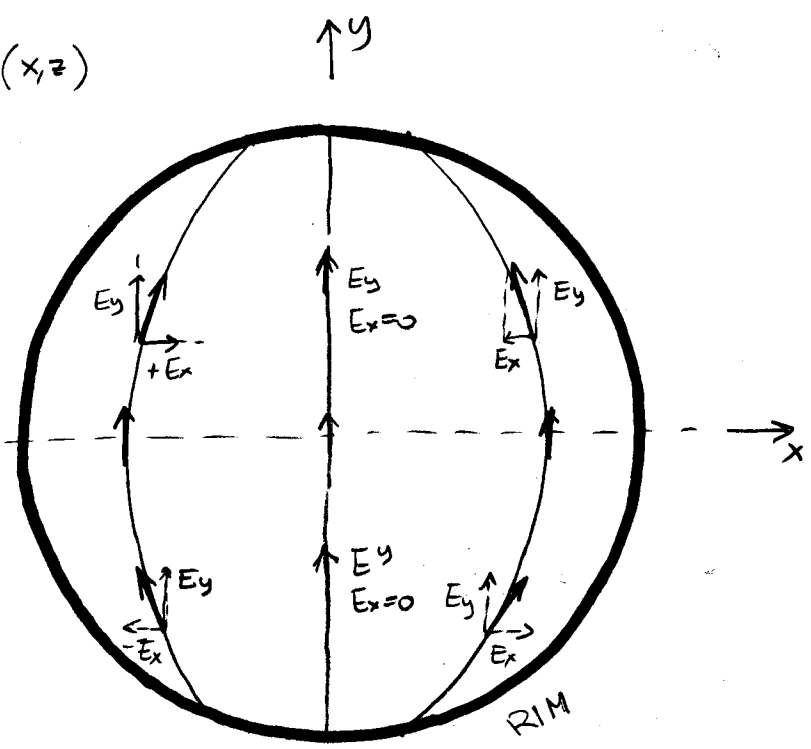
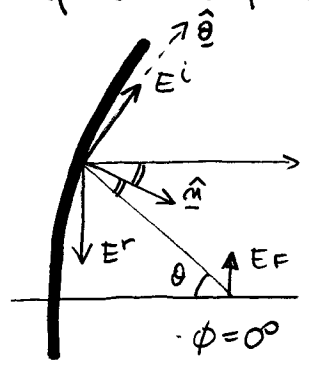
Non esistono comunque formule analitiche e le trasformate di Fourier va fatte numericamente.

Si nota quindi che, partendo da un campo nell'illuminato con polarizzazione  $\hat{y}$ , si è passati ad un campo sulle bocche del paraboloide con polarizzazione  $\hat{x}$  e  $\hat{y}$ .  
 E' cioè nota una componente "cross-polar" ( $\hat{x}$ ) che sottrae quindi energia alla componente "co-polare" ( $\hat{y}$ ), con conseguente riduzione dell'efficienza d'apertura.

Sul piano  $\phi=0$  (x,z)

$$\underline{E}^r \sim -j k_0 \frac{\hat{\theta} j k_0 r}{2\pi r} \cdot f_y \cos\theta \hat{y}$$

c'è solo la componente co-polare



Le polarizzazioni Ey cambiano di segno

Sul piano  $\phi = \frac{\pi}{2}$  (y,z)  $\underline{E}^r \sim -j k_0 \frac{\hat{\theta} j k_0 r}{2\pi r} f_y \hat{y}$

c'è invece la sola co-polare

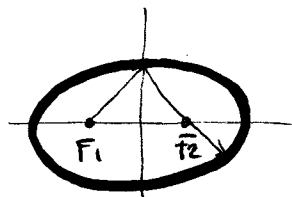
NB || Sui piani a  $\pm 45^\circ$  c'è la maggior eccitazione delle componenti cross-polari

# SISTEMI A PIU' RIFLETTORI

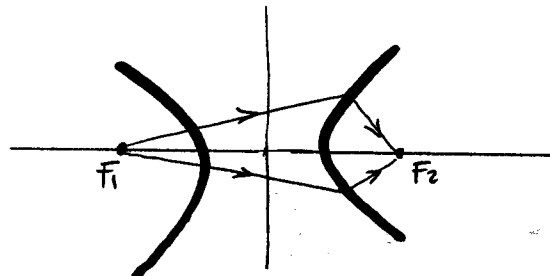
Un sistema a singolo riflettore (parabola) ha come unico grado di libertà la distanza focale. Per meglio controllare l'empirica del campo di apertura si aggiungono ulteriori gradi di libertà legati alla presenza di un RIFLETTORE SECONDARIO, normalmente di dimensioni inferiori e quelle del riflettore principale.

Vengono utilizzate superfici a due fuochi,

- un fuoco coincide con quello della parabola
- un fuoco coincide con la posizione del feed



ellissoide



iperboloido

Per sistemi a doppio riflettore si riesce a:

- i) migliorare l'efficienza di spillover
- ii) migliorare l'efficienza d'apertura
- iii) posizionare il feed in una posizione conveniente

Campo di apertura:

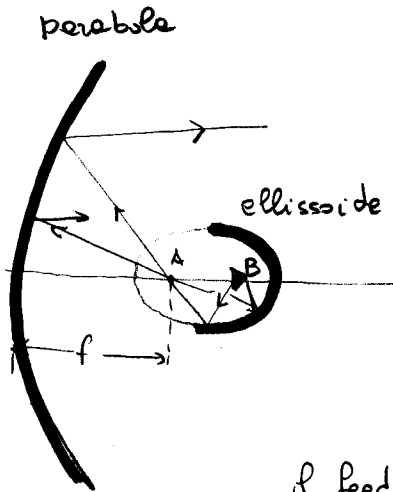
-  $|E_2| \Leftarrow$  curvatura del riflettore secondario

$\angle E_2 \Leftarrow$  curvatura del riflettore primario

Sono usate due classi di configurazioni: 1. SCHEMI GREGORIANI  
2. SCHEMI CASSEGRAIN

### 1) Schemi gregoriani

Così un raggio attraversa ambidue i fuochi. Si usa l'ellissoide come riflettore secondario, con concentricità approssimate alla parabola

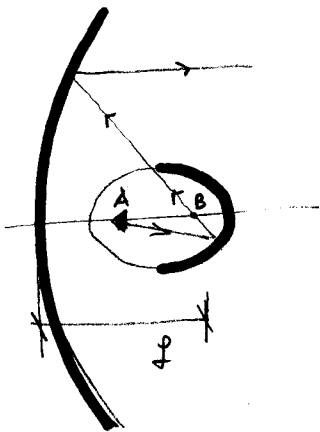


A = { fuoco parabola  
1° fuoco ellisse

- il primo fuoco dell'ellissoide coincide con quello del paraboloide
- il secondo fuoco coincide con la posizione del feed

il feed "guarda il paraboloide"

⇒ maggiore efficienza di Spillover



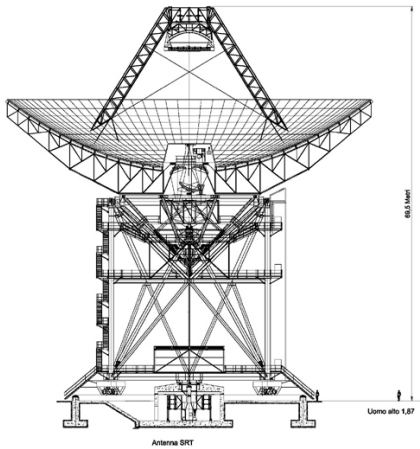
- il secondo fuoco dell'ellissoide coincide con quello del paraboloide

il feed "guarda" l'ellissoide (⇒ riduzione disturbi)

B = { fuoco parabola  
fuoco ellisse

A = { fuoco ellisse  
feed

## Schemi Gregoriani



**Sardinia Radio Telescope**  
0.3Mhz – 100MHz

Posizione	Pranu Sanguni (CA), Italia
Coordinate	Lat. 39°29'50" N - Long. 09°14'40" E
Ottica	Gregoriana (shaped) + BWG
Frequenze operative	0.3÷100 GHz
Diametro del riflettore parabolico	64 m
Diametro del sub-riflettore ellittico	8 m
Diametro specchi ellittici BWG	2.9÷3.9 m
Ricevitori Multi-beam	22 GHz (7 feeds)
Fuochi disponibili	Primario $f/D = 0.33$ Gregoriano $f/D = 2.34$ 2 x BWG I $f/D = 1.38$ 2 x BWG II $f/D = 2.81$
Escursione in elevazione	5°-90°
Escursione in azimut	± 270°
Escursione in angolo parallattico	± 60°
Velocità di spostamento (vel. vento < 60 km/h)	0.85 °/sec Azimuth 0.5 °/sec Elevazione 10°/sec Angolo parallattico
Accuratezza superficiale (rms da specifiche)	630 micron (superficie passiva) 185÷119 micron (superficie attiva)
Puntamento (rms da specifiche)	11÷1.8 arcsec
Risoluzione	19.5 arcmin/f (GHz)
Guadagno	0.4÷0.7 K/3y
Primi lobi laterali	circa 20 dB sotto al lobo principale
Montatura dei ricevitori	Fuoco primario : posizionatore mobile con 4 alloggiamenti Fuoco gregoriano : cilindro ruotante con 8 alloggiamenti BWG I-II : fissi con 4 alloggiamenti

## Schemi Gregoriani



**Sub-reflector Gregoriano**  
(Arecibo)

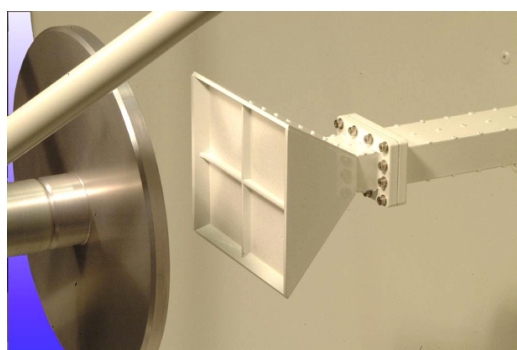


## Schemi Cassegrain



**The 32m Radio Telescope at Cambridge.**  
(Schema Cassegrain)

## Schemi Cassegrain



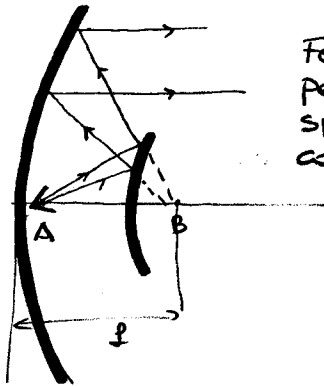
**1.2 m 4 Feed 15.5 to  
17 GHz Monopulse  
Cassegrain Reflector  
Antenna**

## 2) Schemi Cassegrain

↳ raggi attraversano in solo fuoco del r. secondario.

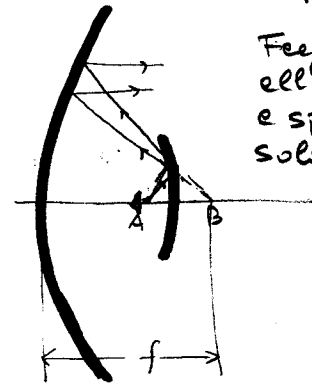
Viene usato l'iperboloide

a) ramo destro iperboloidi



Feed vicino al  
paraboloidi e  
spesso integrato  
con esso

b) ramo sinistro iperboloidi



Feed vicino  
all'iperboloidi  
e spesso ad esso  
solidale

Il punto fuoco dell'iperboloidi coincide con la posizione del feed, il secondo fuoco con quello del paraboloidi

Con questa configurazione il feed è orientato verso la direzione di propagazione. Se il sistema serve e riceve segnali che vengono dal cielo (comunicazione via satellite), allora con questa geometria si riduce il contributo di rumore che viene dal terreno. (utile in RADIOASTRONOMIA)

NB ⇒ permette di ottenere una distanza focale equivalente migliore di quelle fisse. Segue la spiegazione finale. →

□ Concetto di fuoco equivalente e parabola immagine

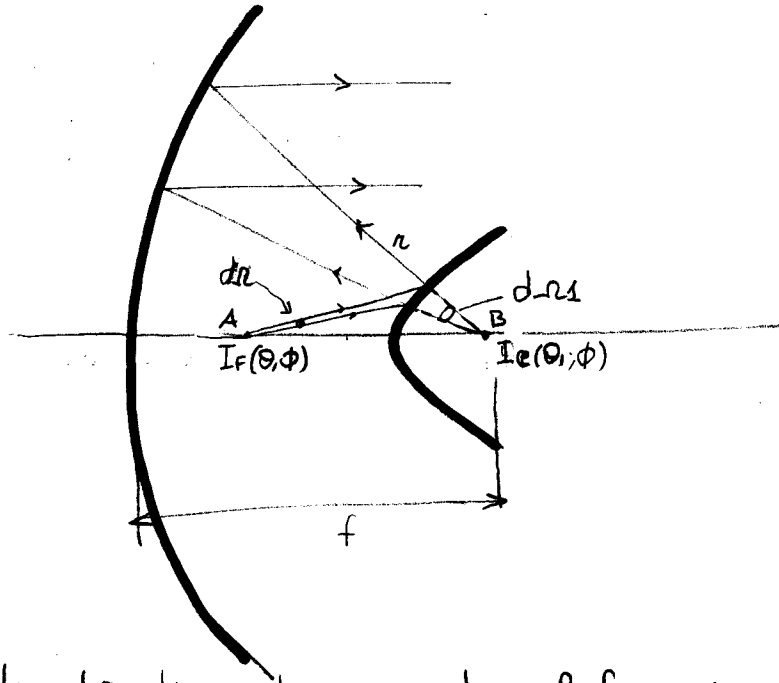
● paraboloide:

$$r = \frac{2f}{1 + \cos\theta_1}$$

● iperboloido

$$r = \frac{P}{e \cdot \cos\theta + 1}$$

↑  
eccentricità



Sia  $I_F(\theta, \phi)$  l'intensità di radiazione posta nel fuoco A. La potenza trasportata in un tubo di "flusso" di angolo solido  $d\Omega$  è

$$I_F(\theta, \phi) d\Omega$$

Il raggio riflettente dell'iperboloido è come se emettesse dal fuoco B. La conservazione della potenza impone che

$$I_F(\theta, \phi) d\Omega = I_e(\theta_1, \phi) d\Omega_1$$

↑  
intensità di radiazione "immaginare" proveniente dal fuoco B

$$I_e(\theta, \phi) = I_F(\theta, \phi) \frac{d\Omega}{d\Omega_1} = I_F(\theta, \phi) \frac{\sin\theta d\theta d\phi}{\sin\theta_1 d\theta_1 d\phi}$$

$$I_e(\theta, \phi) = I_F(\theta, \phi) \left( \frac{\partial u \theta}{\partial v \theta_1} \frac{d\theta}{d\theta_1} \right)$$

termine deformante dovuto alle curvature

Quindi il riflettore primario vede un feed "immaginario" che è deformato rispetto al feed reale.

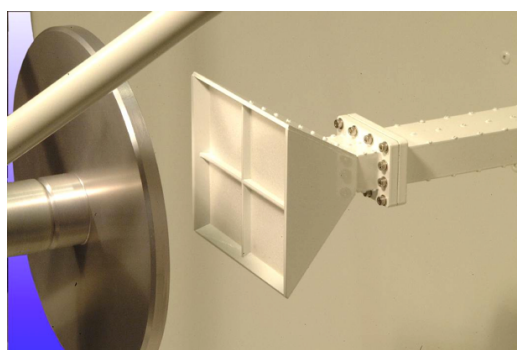


## Schemi Cassegrain



**The 32m Radio Telescope at Cambridge.**  
(Schema Cassegrain)

## Schemi Cassegrain



**1.2 m 4 Feed 15.5 to  
17 GHz Monopulse  
Cassegrain Reflector  
Antenna**

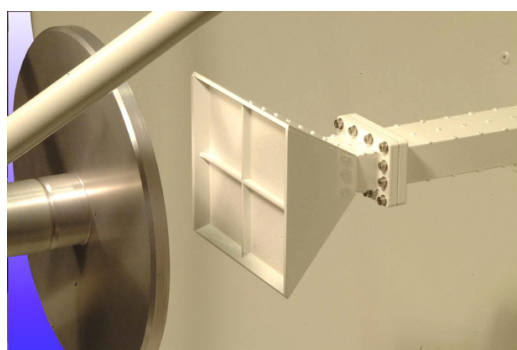


## Schemi Cassegrain



**The 32m Radio Telescope at Cambridge.**  
(Schema Cassegrain)

## Schemi Cassegrain



**1.2 m 4 Feed 15.5 to  
17 GHz Monopulse  
Cassegrain Reflector  
Antenna**

Se si ve a calcolare le densità di potenza emergente dalla parabola, si ottiene

$$\rho d\rho d\phi S^R(\rho, \phi) = I_e(\theta, \phi) d\Omega_1 \Rightarrow$$

$$S^R(\rho, \phi) = I_e(\theta, \phi) \frac{\sin\theta}{\rho} \frac{d\theta}{d\rho} \quad \rho = r \sin\theta_1$$

$$= I_e(\theta, \phi) \frac{1}{r} \frac{d\theta}{d\rho}$$

$$\text{ovvero } \frac{d\rho}{d\theta} = r$$

(come visto in precedenza)

$$= I_e(\theta, \phi) \frac{1}{r^2}$$

$$= I_F(\theta, \phi) \frac{\sin\theta}{\sin\theta_1} \frac{d\theta}{d\theta_1} \frac{(1 + \cos\theta)^2}{4f^2}$$

Se si introduce in  $d\theta/d\theta_1$  l'espressione dell'iperbolicoide, si trova in fine:

$$S^R(\rho, \phi) = I_F(\theta, \phi) \left(\frac{e-1}{e+1}\right)^2 \left(\frac{1+\cos\theta}{2f}\right)^2 \quad e: \text{eccentricità iperbolicoide}$$

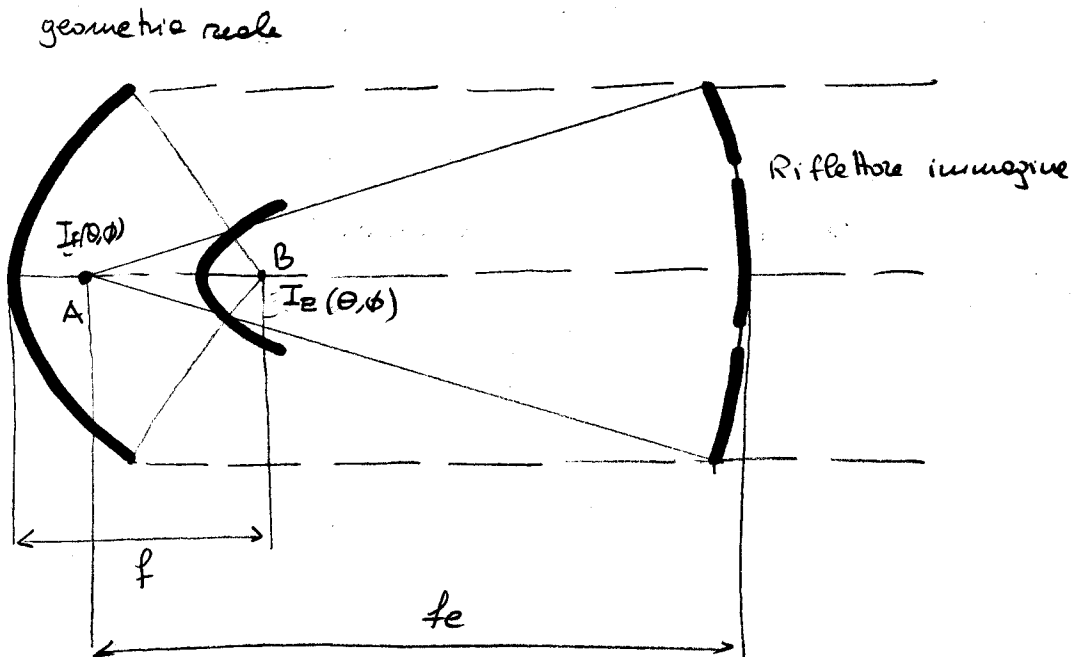
questa espressione va confrontata con quella relativa al singolo riflettore parabolico:

$$S^R(\rho, \phi) = I_F(\theta, \phi) \frac{(1+\cos\theta)^2}{(2f)^2}$$

Di conseguenza il sistema a doppio riflettore equivale ed in un solo riflettore parabolico di ugual apertura e fuoco equivalente

$$\rho_e = f \frac{e+1}{e-1} > f$$

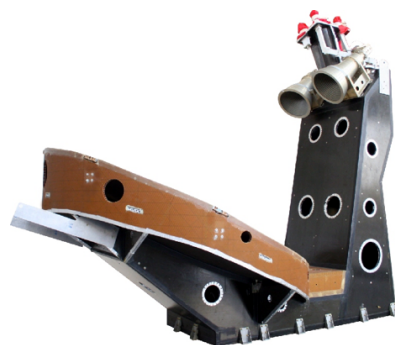
A parità di funzione di illuminazione  $I_f(\theta, \phi)$ , è come se il campo emergente da un paraboloide "immagine" molto più lontano dal feed rispetto alla geometria reale. (maggiore distanza focale)



Le conseguenze sono le seguenti:

- 1) poiché il feed è virtualmente lontano dal riflettore immagine, il campo di apertura sarà più uniforme che nel caso di singolo riflettore. Alte  $\eta_{II}$  eff. d'apertura (illuminazione)
- 2) poiché il feed reale è "realmente" vicino ai riflettori, l'efficienza di spillover  $\eta_s$  sarà mantenuta elevata
- 3) la struttura risulta molto più leggera e compatta di un sistema a singolo riflettore avente uguale  $\eta_A$ .

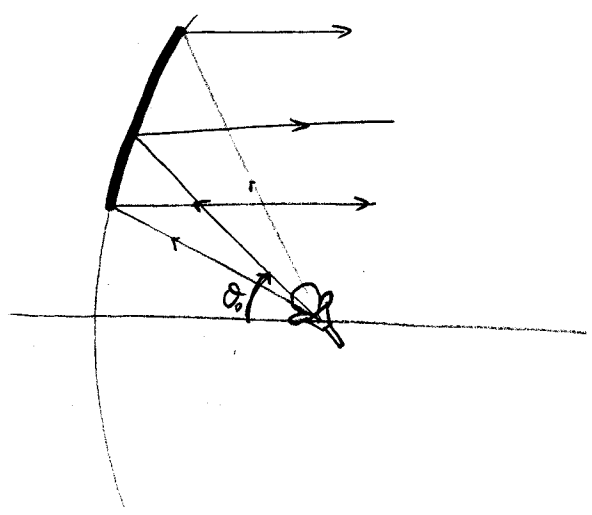
## Schemi Offset



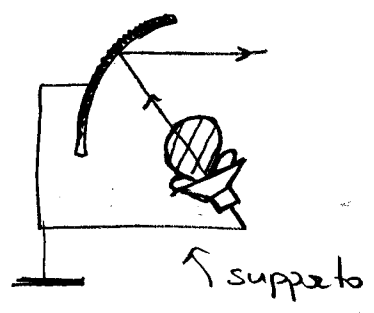
# CONFIGURAZIONI OFFSET

- 1. Riduzione dell'ingombro del sistema a 1/2 riflettori
- 2. Riduzione dell'effetto di bloccaggio del feed o del riflettore secondario.

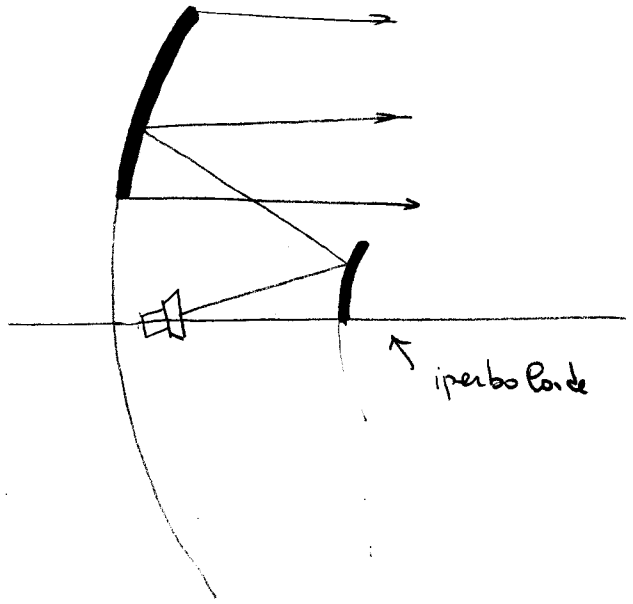
Viene utilizzate solo una porzione piccola dei riflettori



il feed non occlude la parabola ed è orientato rispetto all'asse della parabola di un angolo  $\alpha_0$



Vengono spesso ottenute geometrie derivate da Cassegrain



systeme maggiormente utilizzati

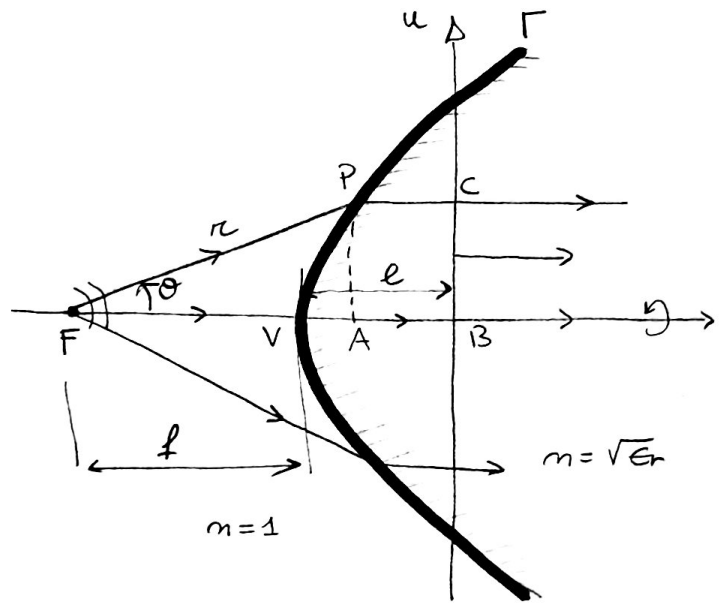
29

I sistemi offset hanno in genere meno elevate cross-polar  
per effetto delle perdite di simmetria lungo l'asse.

Per migliorare le prestazioni il riflettore secondario viene  
segmentato in maniera opportuna.

# LENTE A MICROONDE

Si vuole determinare  
 la forma di una  
 superficie  $\Gamma$ ,  
 avente simmetria di  
 rotazione attorno ad  
 un'asse, che delimiti  
 un mezzo dielettrico di  
 indice di rifrazione  $n = \sqrt{\epsilon_r}$ ,



in modo che, i raggi provenienti da una sorgente puntiforme posta sull'asse emergano paralleli da  $\Gamma$ . In altri termini  $\Gamma$  trasforma onde sferiche in onde piane, cioè esegue una focalizzazione all'infinito. Il fronte d'onda emergente da  $\Gamma$  deve quindi essere un piano ortogonale all'asse. Ciò è verificato quando tutti i raggi che arrivano sul piano  $u$  hanno percorso lo stesso cammino ottico

optical path length =  
 geometrical path  $\times k$

$$(1) \quad \overline{FVB} = \overline{FPC}$$

$$\overline{FVB} = FV \cdot k_0 + VB \cdot k_0 n \equiv FV \cdot k_0 + l k_0 n = k_0 f + k_0 n l$$

$$\overline{FPC} = FP \cdot k_0 + PC \cdot k_0 n = k_0 \cdot r + k_0 n PC = 0$$

$$PC = AB = l - VA = l - (r \cos \theta - f)$$

$$0 = k_0 r + k_0 n l - k_0 n r \cos \theta + k_0 n f$$

dalle (1) segue:

$$k_0 f + k_0 m l = k_0 r + k_0 m l - k_0 m r \cos \theta + k_0 m f$$

$$f(1-m) = r(1-m \cos \theta)$$

$$(2) \quad r = \frac{f \cdot (m-1)}{m \cos \theta - 1}$$

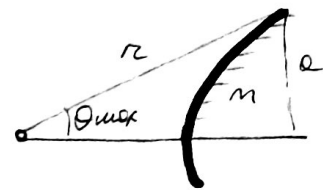
affinché  $r > 0 \Rightarrow \cos \theta > \frac{1}{m}$  per cui risulta individuato un angolo massimo di apertura delle lenti

$$\theta_{\max} = \arccos\left(\frac{1}{m}\right)$$

che dipende dall'indice di rifrazione.

Le lenti avrà quindi l'apertura di

$$\text{dimensioni} \quad d = r \sin \theta_{\max}$$



La (2) è l'equazione in coordinate polari di un iperboida

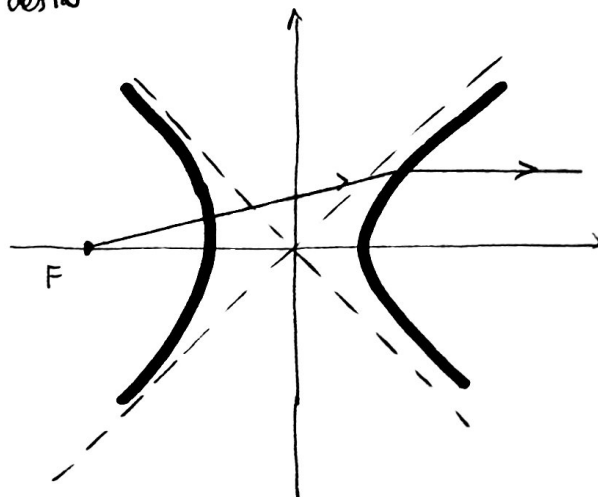
$$r = \frac{p}{e \cos \theta + 1}$$

$$p \equiv (m-1)f \quad \text{- parametro}$$

$$e \equiv m \quad \text{- eccentricità}$$

+ : arco di sinistra

- : arco di destra



## MICROWAVE LENS

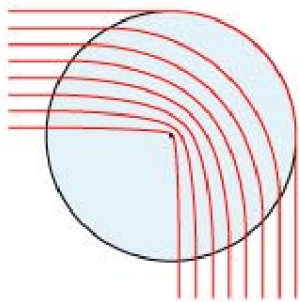


Microwave Accessory, Hollow Plano-convex Lens Comprising a thin moulded plastic dome, 260mm dia., bonded to a 3mm thick plastic plate 315mm square. When in use the lens is filled with paraffin oil. Mounted in a vertical plane by channel base.

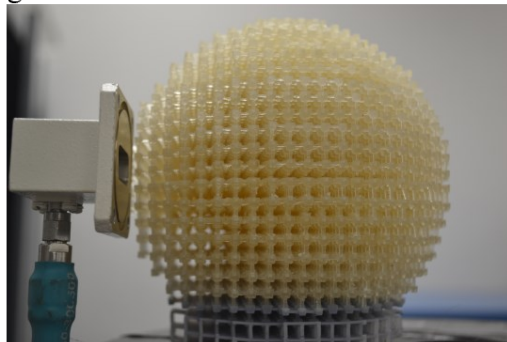
[Microwave Accessories Hollow Plano-convex Lens](#)

## 3D PRINTED LENS

Field distribution of the lens are both agree well with the simulation.



(a)



(b)

Figure 1. Printed microwave Eaton lens using rapid prototyping technique: (a)

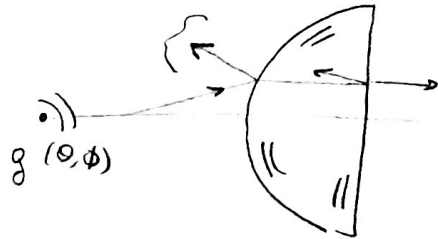


Microwave lens manufactured using glass epoxy

# Calcolo del campo emergente da una lente iperbolica

Ipotesi: le superfici esterne della lente sono adatte e lo spazio libero, in altri termini sono trascurabili le riflettività verso la sorgente (laminare o  $\lambda/4$ )

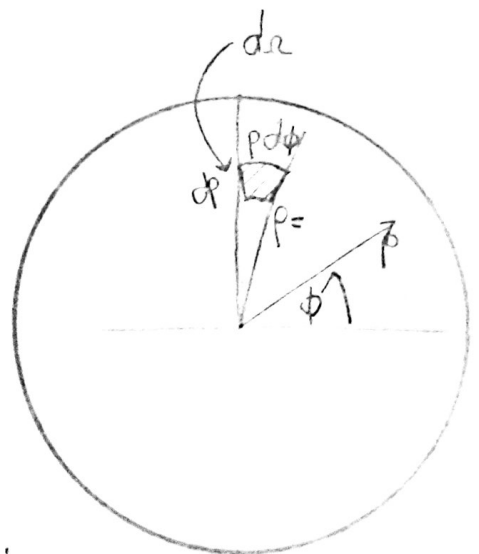
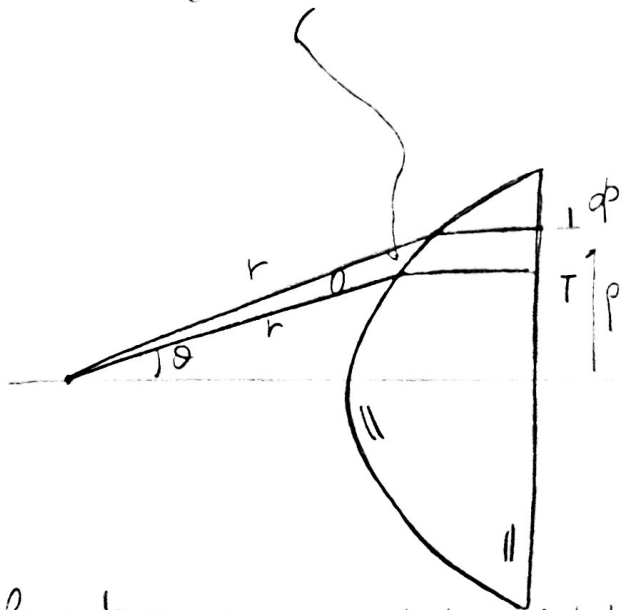
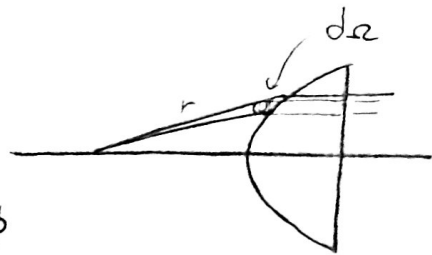
Sia  $g(\theta, \phi)$  intensità di radiazione del feed nella direzione  $(\theta, \phi)$



## 1 Calcolo della densità superficiale di potenza emergente dall'apertura

La potenza all'interno dell'angolo solido  $d\Omega = \sin\theta d\theta d\phi$  che incide sulle lenti è:

$$P_{in} = g(\theta, \phi) d\Omega = g(\theta, \phi) \sin\theta d\theta d\phi$$



La potenza si propaga dentro il tubo di flusso di sezione  $dp \cdot p d\phi$  con  $p = r \sin\theta$

Per la conservazione della potenza nel tubo di flusso è

grandene da calcolare

$$\underbrace{g(\theta, \phi) \sin \theta \, d\theta \, d\phi}_{P_{in}} = \underbrace{p(\rho, \phi) r \sin \theta \, d\rho \, d\phi}_{P_{out}}$$

$p(\rho, \phi)$  densità di potenza sull'apertura

$$p(\rho, \phi) = g(\theta, \phi) \frac{1}{r} \frac{d\rho}{d\theta}$$

ovvero  $\rho = r \sin \theta$ ,

dell'eq. delle Beck è

$$r = \frac{f(m-1)}{m \cos \theta - 1}$$

da cui

$$\rho = \frac{\sin \theta \cdot f \cdot (m-1)}{m \cos \theta - 1}$$

$$\frac{d\rho}{d\theta} = \frac{(m-1) \cdot f \cdot (m - \cos \theta)}{(m \cos \theta - 1)^2}$$

e quindi

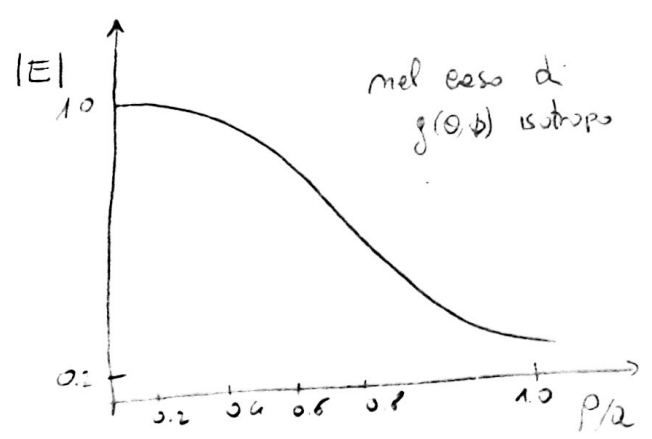
$$p(\rho, \phi) = g(\theta, \phi) \frac{m \cos \theta - 1}{f(m-1)} \frac{(m \cos \theta - 1)^2}{(m-1) f \cdot (m - \cos \theta)} = g(\theta, \phi) \frac{(m \cos \theta - 1)^3}{f^2 (m-1)^2 (m - \cos \theta)}$$

2

$|E_{\theta}| \propto \sqrt{p(\rho, \phi)}$  campo d'apertura

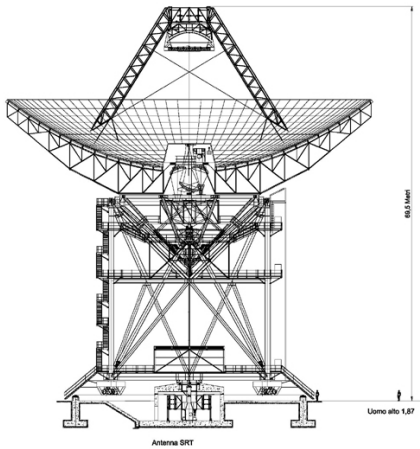
{ si è completamente trascurate le polarizzazioni }

Si ha un andamento taperato del campo sull'apertura



→ campo di apertura equifase ⇒  $\eta_A < 1$  ma non equiampiezza.

## Schemi Gregoriani



**Sardinia Radio Telescope**  
0.3MHz – 100MHz

Posizione	Pranu Sanguni (CA), Italia
Coordinate	Lat. 39°29'50" N - Long. 09°14'40" E
Ottica	Gregoriana (shaped) + BWG
Frequenze operative	0.3÷100 GHz
Diametro del riflettore parabolico	64 m
Diametro del sub-riflettore ellittico	8 m
Diametro specchi ellittici BWG	2.9÷3.9 m
Ricevitori Multi-beam	22 GHz (7 feeds)
Fuochi disponibili	Primario $f/D = 0.33$ Gregoriano $f/D = 2.34$ 2 x BWG I $f/D = 1.38$ 2 x BWG II $f/D = 2.81$
Escursione in elevazione	5°-90°
Escursione in azimut	± 270°
Escursione in angolo parallattico	± 60°
Velocità di spostamento (vel. vento < 60 km/h)	0.85 °/sec Azimuth 0.5 °/sec Elevazione 10°/sec Angolo parallattico
Accuratezza superficiale (rms da specifiche)	630 micron (superficie passiva) 185÷119 micron (superficie attiva)
Puntamento (rms da specifiche)	11÷1.8 arcsec
Risoluzione	19.5 arcmin/f (GHz)
Guadagno	0.4÷0.7 K/3y
Primi lobi laterali	circa 20 dB sotto al lobo principale
Montatura dei ricevitori	Fuoco primario : posizionatore mobile con 4 alloggiamenti Fuoco gregoriano : cilindro ruotante con 8 alloggiamenti BWG I-II : fissi con 4 alloggiamenti

## Schemi Gregoriani



**Sub-reflector Gregoriano**  
(Arecibo)

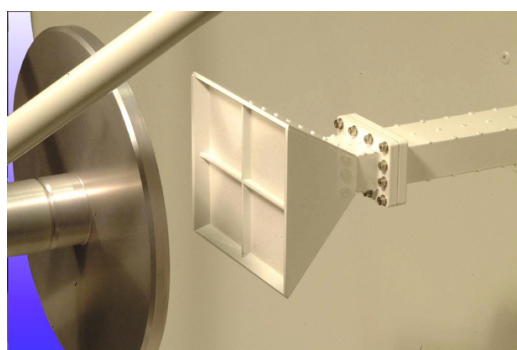


## Schemi Cassegrain



**The 32m Radio Telescope at Cambridge.**  
(Schema Cassegrain)

## Schemi Cassegrain



**1.2 m 4 Feed 15.5 to  
17 GHz Monopulse  
Cassegrain Reflector  
Antenna**

## Schemi Offset

